

UNIVERSIDADE FEDERAL DE ITAJUBÁ
PROGRAMA DE PÓS-GRADUAÇÃO EM MATEMÁTICA

**Bi-tangências, inflexões e
pontos duplos de curvas planas**

Matheus dos Santos Barnabé

Orientador: Prof. Dr. Fabio Scalco Dias

Coorientador: Prof. Dr. Rick Antônio Rischter

Durante o desenvolvimento deste trabalho o autor recebeu auxílio financeiro da CAPES

ITAJUBÁ, 20 DE FEVEREIRO DE 2018

UNIVERSIDADE FEDERAL DE ITAJUBÁ
PROGRAMA DE PÓS-GRADUAÇÃO EM MATEMÁTICA

**Bi-tangências, inflexões e
pontos duplos de curvas planas**

Matheus dos Santos Barnabé

Orientador: Prof. Dr. Fábio Scalco Dias

Coorientador: Prof. Dr. Rick Antônio Rischer

Dissertação submetida ao Programa de Pós-Graduação em
Matemática como parte dos requisitos para obtenção do
Título de Mestre em Matemática

Área de Concentração: Geometria e Topologia

ITAJUBÁ – MG

20 DE FEVEREIRO DE 2018

Agradecimentos

Agradeço aos professores do PMAT pela dedicação e empenho que demonstraram durante o curso, também agradeço aos colegas de curso pela amizade e cumplicidade.

Um agradecimento especial para o Prof. Dr. Fábio Scalco Dias e ao Prof. Dr. Rick Antônio Rischter por terem me dado forças e acreditado em mim para que eu conduzisse a dissertação e o curso, como um todo, até o seu fim.

Outro agradecimento especial para o Prof. Dr. Luis Fernando de Osório Mello e ao Prof. Dr. Leandro Gustavo Gomes pela excelente condução, administração e coordenação do PMAT.

Por fim, agradeço a Coordenação de Aperfeiçoamento de Pessoal de Nível Superior (CAPES) pela bolsa de estudos de mestrado.

*“A ciência nunca resolve um problema
sem criar pelo menos outros dez.”*

(George Bernard Shaw)

Resumo

O objetivo desta dissertação é um estudo de uma relação entre os números de bi-tangências, inflexões e pontos duplos de curvas planas. Dentre os resultados principais, provaremos a fórmula de Fabricius-Bjerre para curvas suaves e fechadas no plano e apresentaremos uma fórmula análoga para curvas fechadas na esfera. Obtemos também, para uma classe de curvas de plano, uma extensão dessa relação estabelecida por Fabricius-Bjerre. Por último, exibiremos uma fórmula que relaciona inflexões, bi-tangências e o número Milnor de um germe de curva plana.

Palavras-chave: Bi-tangências, Inflexões, Pontos Duplos, Curvas Planas, Fabricius-Bjerre.

Abstract

The objective of this dissertation is a study of a relation between the numbers of bi-tangencies, inflections and double points of the plane curves. Among the main results, we will prove the Fabricius-Bjerre formula for smooth and closed curves in the plane and present an analogous formula for closed curves in the sphere. We also obtain, for a class of plane curves, an extension of the relation established by Fabricius-Bjerre. Lastly, we will show a formula that relates inflections, bi-tangencies and the number of Milnor of the plane curve germ.

Keywords: Bitangency, Inflections, Double Points, Plane Curves, Fabricius-Bjerre.

Sumário

Agradecimentos	i
Resumo	iii
Abstract	iv
Sumário	v
Lista de Figuras	viii
Lista de Tabelas	ix
Introdução	1
1 A Fórmula de Fabricius-Bjerre	4
1.1 Definições	4
1.2 Teoremas de Fabricius-Bjerre	7
1.2.1 A demonstração de Fabricius-Bjerre	8
1.3 Uma demonstração alternativa	13
2 A Fórmula de Fabricius-Bjerre na Esfera	19
2.1 A fórmula na esfera	19
2.2 Aplicações	21
3 Fórmula Geométrica	24
3.1 Definições e resultados preliminares	25

3.2	O índice de F_γ e propriedades geométricas de γ	30
3.3	O índice de F_γ para $\gamma(u) = (a_k b^k, b_m u^m)$	36
3.4	Uma fórmula análoga à de Fabricius-Bjerre	47
4	Uma Fórmula Algébrica	54
4.1	Definições iniciais	54
4.2	Resultados preliminares	57
4.3	A fórmula Algébrica	61
	Conclusões	64
	Bibliografia	65

Lista de Figuras

1.1	Inflexão.	5
1.2	Bi-tangências.	5
1.3	Ponto Duplo.	6
1.4	Semi-tangentes positivas e negativas.	8
1.5	Tipos de bi-tangência do mesmo lado.	9
1.6	Pontos ganhos por $p+$ no caso E_1	10
1.7	Pontos perdidos por $p-$ no caso E_1	10
1.8	Estudo da bi-tangência de lados opostos.	11
1.9	Curva Trefoil.	12
1.10	Curva Leminiscata.	13
3.1	Cúspides.	25
3.2	Curva $\gamma(u) = (u^2, u^3)$	28
3.3	Curva $\gamma(u) = (u^2 - 4u, u^5 + u^4 - 4u^3 - 2u^2 + 3u)$	28
3.4	Setores elípticos e hiperbólicos.	31
3.5	Campo de vetores para $f(u, v) = (-u, v)$	32
3.6	Campo F_γ para $\gamma(u) = (u^2, u^3)$	34
3.7	Campo F_γ para $\gamma(u) = (u^2, u^4 + u^5)$	35
3.8	Setores no primeiro e terceiro quadrantes de F_γ e a região B	41
3.9	Caso 1: k é ímpar e m é par.	42
3.10	Caso 2: k e m são ambos pares.	44
3.11	Caso 3: k e m são ambos ímpares.	45
3.12	Caso 4: k é par e m é ímpar.	46

3.13	Uma deformação genérica de (u^2, u^3)	47
3.14	Uma deformação genérica de (u^2, u^5)	48
3.15	Os zeros se mantêm no compacto B_4	49
3.16	Curva $\bar{\gamma}(u) = (u^2 - 4u, u^5 + u^4 - 4u^3 - 2u^2 + 3u)$	52

Lista de Tabelas

1.1	Pontos ganhos e perdidos por $p+$ e $p-$	11
2.1	Fórmula no plano e na esfera.	19
4.1	Invariantes locais.	63
4.2	Invariantes globais.	63

Introdução

O estudo de curvas foi o grande precursor da história da geometria diferencial. De fato, noções como retas tangentes à curvas já faziam parte do conhecimento dos gregos (Euclides, Arquimedes, Apolônio). Foi no século XVII, com Pierre de Fermat (1601-1665) e René Descartes (1596-1650), que se deu a criação do método das coordenadas. O estudo diferencial, propriamente dito, deu-se somente após a descoberta dos algoritmos do cálculo infinitesimal, fruto dos trabalhos de Gottfried Leibniz (1646-1716) e Isaac Newton (1643-1727).

Atualmente, a geometria diferencial de curvas e superfícies tem dois aspectos. Primeiro, que pode ser chamado de geometria diferencial clássica, teve início como os primórdios do cálculo. A grosso modo, a geometria diferencial clássica é o estudo das propriedades locais das curvas e superfícies. Por propriedades locais entendemos aquelas propriedades que dependem apenas do comportamento da curva ou superfície nas proximidades de um ponto. O outro aspecto é a chamada geometria diferencial global. Estuda-se aqui a influência das propriedades locais sobre o comportamento da curva ou superfície como um todo.

Nesta dissertação exploraremos estes dois aspectos da geometria diferencial de curvas no plano \mathbb{R}^2 .

O espírito deste trabalho foi inspirado no artigo de Fabricius-Bjerre [11] de 1962. Neste, o autor descreve uma elegante relação entre os números de bi-tangências (retas tangentes à curva em exatamente dois pontos), pontos duplos (auto-interseções da curva) e inflexões (pontos onde a curvatura se anula) de uma curva $\gamma : \mathbb{S}^1 \rightarrow \mathbb{R}^2$. Outras demonstrações para este resultado podem ser encontradas em [14] ou em [2]. Para um resumo destas

demonstrações veja [16] ou [9].

Fabricius-Bjerre estendeu seu próprio teorema para curvas $\gamma : \mathbb{S}^1 \rightarrow \mathbb{R}^2$ com cúspides dos tipos c_1 e c_2 em 1977 no artigo [12]. Informalmente, a vizinhança de uma curva em um ponto de cúspide é composta de dois arcos convexos sem pontos comuns, temos: uma cúspide do tipo c_1 , sendo quando os arcos convexos situam-se em lados opostos da reta tangente no ponto de cúspide; uma cúspide do tipo c_2 , quando os arcos convexos encontra-se no mesmo lado da reta tangente.

Em 1987, Joel Weiner em [19] obteve uma fórmula análoga a demonstrada por Fabricius-Bjerre para curvas fechadas na esfera. Neste artigo o autor adaptou a prova original, feita em [11], para que fosse efetiva a curvas fechadas esféricas (imersões do círculo na esfera). A novidade foram os pares antipodais de $\gamma : \mathbb{S}^1 \rightarrow \mathbb{S}^2$, que são os pares $\{p, \bar{p}\}$ tais que p e \bar{p} são pontos antipodais e estão em $\gamma(\mathbb{S}^1)$, que passaram a fazer parte da fórmula.

Já em 2011, Fabio Dias e Luis Mello em [7] obtiveram uma fórmula, análoga a de Fabricius-Bjerre, para uma classe de curvas $\gamma : I \rightarrow \mathbb{R}^2$, $I \subset \mathbb{R}$ intervalo aberto. Este resultado foi obtido a partir da construção de um campo $F_\gamma : \mathbb{R}^2 \rightarrow \mathbb{R}^2$ conveniente e o estudo de seu índice. O que ocorre é o fato dos pontos singulares do campo F_γ possuírem uma relação com a geometria da curva γ .

Após três anos, em [8], os autores, Fabio Dias, Raúl Oset Sinha e Maria Ruas, obtiveram uma extensão do resultado encontrado em [7], incluindo agora cúspides dos tipos c_1 e c_2 . Além disso, neste artigo [8], é iniciado um estudo algébrico de curvas planas, obtendo, para uma certa classe de germes de curvas $\gamma : (\mathbb{C}, 0) \rightarrow (\mathbb{C}^2, 0)$, uma fórmula envolvendo o número de Milnor, as inflexões e as bi-tangências.

Neste trabalho temos o texto organizado da seguinte forma.

Começaremos o Capítulo 1 dando definições formais para os termos citados (bi-tangência, ponto duplo e inflexão) e também para um conjunto \mathcal{G} de curvas suaves $\gamma : \mathbb{S}^1 \rightarrow \mathbb{R}^2$ para as quais a fórmula de Fabricius-Bjerre é verdadeira. Após isso, iremos apresentar duas demonstrações para o Teorema de Fabricius-Bjerre, uma mais intuitiva e outra mais formal. A primeira prova a ser apresentada está contida no artigo [11], a segunda pode ser encontrada em [16].

O Capítulo 2 é baseado no artigo [19] e visa apresentar uma relação entre as bi-tangências, pontos duplos, inflexões e pontos antipodais de uma curva fechada na esfera.

O Capítulo 3 é dedicado ao estudo dos artigos [7] e [8]. Neste capítulo temos o principal resultado desta dissertação, o teorema que nos permite relacionar objetos geométricos de uma classe de curvas planas, cujo o domínio é um intervalo aberto da reta real, por meio de uma equação. Tal teorema é semelhante ao de Fabricius-Bjerre para curvas fechadas, todavia, para curvas partindo de um intervalo aberto $I \subset \mathbb{R}$, temos mais casos.

O Capítulo 4 explora o artigo [8]. O objetivo deste último capítulo é relacionar o número de Milnor com o número de inflexões e bi-tangências de um germe de curva plana.

Capítulo 1

A Fórmula de Fabricius-Bjerre

O presente capítulo tem como principal objetivo expor a demonstração dada por Fabricius-Bjerre em [11]. Além disso, temos presentes aqui as descrições dos objetos geométricos estudados. Usamos o livro [5] como base para conceitos como retas tangentes e curvaturas, os quais iremos utilizar para fazermos as definições necessárias.

1.1 Definições

Nesta seção iremos formalizar o conceito de bi-tangências, pontos duplos e inflexões, os quais são os termos presentes no Teorema de Fabricius-Bjerre que enunciaremos na seção seguinte.

Durante toda essa dissertação, denotaremos o círculo de raio 1 por \mathbb{S}^1 e diremos que a curva $\gamma : \mathbb{S}^1 \rightarrow \mathbb{R}^2$ é suave quando $\gamma \in \mathcal{C}^\infty(\mathbb{S}^1, \mathbb{R}^2)$.

Definição 1.1. *Seja $\gamma : \mathbb{S}^1 \rightarrow \mathbb{R}^2$ uma curva suave, diremos que $u \in \mathbb{S}^1$ é uma **inflexão** se a curvatura de γ em u é nula, ou seja, $\det(\gamma'(u), \gamma''(u)) = 0$. Ver Figura 1.1.*

Definição 1.2. *Seja $\gamma : \mathbb{S}^1 \rightarrow \mathbb{R}^2$ uma curva suave com uma inflexão $u \in \mathbb{S}^1$. Quando ocorrer de $\gamma'(u)$ não ser múltiplo de $\gamma'''(u)$, isto é, $\det(\gamma'(u), \gamma'''(u)) \neq 0$, diremos que u é uma inflexão **ordinária**.*

Definição 1.3. *Seja $\gamma : \mathbb{S}^1 \rightarrow \mathbb{R}^2$ uma curva suave. Considere $u, v \in \mathbb{S}^1$ dois pontos distintos, denotados por (u, v) ou (v, u) . Quando a reta tangente de γ em u coincidir com*

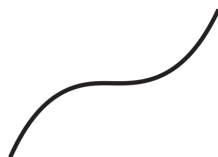


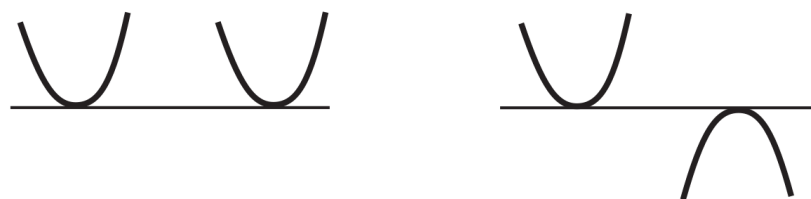
Figura 1.1: Inflexão.

a reta tangente de γ em v diremos que (u, v) é uma **bi-tangência**. (De modo similar, podemos definir tri-tangências.)

Definição 1.4. Seja $\gamma : \mathbb{S}^1 \rightarrow \mathbb{R}^2$ uma curva suave com (u, v) uma bi-tangência. Se u e v não são pontos de inflexão, diremos que a bi-tangência é **regular**.

Observe que a definição de bi-tangência regular permite dois casos na Definição 1.3, que serão as bi-tangências de mesmo lado e de lados opostos. Como definidas a seguir.

Definição 1.5. Seja $\gamma : \mathbb{S}^1 \rightarrow \mathbb{R}^2$ uma curva suave com (u, v) uma bi-tangência regular. Se existirem vizinhanças em $\gamma(\mathbb{S}^1)$ dos pontos $\gamma(u)$ e $\gamma(v)$ ambas do mesmo lado da reta tangente dada por $\gamma'(u)$ teremos então uma **bi-tangência de mesmo lado**, caso contrário, teremos uma **bi-tangência de lados opostos**. Os dois casos estão ilustrados na Figura 1.2.



(a) Bi-tangência de mesmo lado.

(b) Bi-tangência de lados opostos.

Figura 1.2: Bi-tangências.

Definição 1.6. Seja $\gamma : \mathbb{S}^1 \rightarrow \mathbb{R}^2$ uma curva suave. Um **ponto duplo** é um par de pontos distintos $u, v \in \mathbb{S}^1$, denotados por (u, v) ou (v, u) , tais que $\gamma(u) = \gamma(v)$. Ver Figura 1.3. (Semelhantemente, definimos a noção de ponto tripo.)

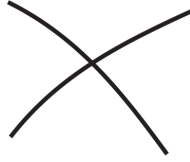


Figura 1.3: Ponto Duplo.

Definição 1.7. *Seja $\gamma : \mathbb{S}^1 \rightarrow \mathbb{R}^2$ uma curva suave com um ponto duplo (u, v) . Diremos que (u, v) é um ponto duplo **transversal** quando $\gamma'(u)$ não for um múltiplo de $\gamma'(v)$, ou seja, $\det(\gamma'(u), \gamma'(v)) \neq 0$.*

Com essas definições preliminares feitas, vamos definir o conjunto das curvas $\gamma : \mathbb{S}^1 \rightarrow \mathbb{R}^2$ para as quais o Teorema de Fabricius-Bjerre é verdadeiro.

Definição 1.8. *Definimos $\mathcal{G}(\mathbb{S}^1, \mathbb{R}^2)$ como o conjunto formado por todas as curvas $\gamma \in \mathcal{C}^\infty(\mathbb{S}^1, \mathbb{R}^2)$ tais que suas bi-tangências são regulares, não existem tri-tangências, os pontos duplos são transversais, não existem pontos triplos e as inflexões são ordinárias.*

Usando técnicas de transversalidade, é possível mostrar que $\mathcal{G}(\mathbb{S}^1, \mathbb{R}^2)$ é residual em $\mathcal{C}^\infty(\mathbb{S}^1, \mathbb{R}^2)$ com a topologia de Whitney \mathcal{C}^∞ . Chamaremos as curvas $\gamma \in \mathcal{G}(\mathbb{S}^1, \mathbb{R}^2)$ de **genéricas**. Ainda, como \mathbb{S}^1 é compacto temos que os pontos de bi-tangências, pontos duplos e inflexões são finitos.

Segue agora uma importante observação acerca das quantidades dos objetos em questão.

Observação 1.9. *Nas Definições 1.3 e 1.6 o par (u, v) , que representa respectivamente, uma bi-tangência ou o ponto duplo da curva γ , não é ordenado. De fato, estamos tratando de pontos $u, v \in \mathbb{S}^1$ distintos, que é o mesmo que pontos $v, u \in \mathbb{S}^1$ distintos. Este par seria ordenado se considerássemos $(u, v) \in \mathbb{S}^1 \times \mathbb{S}^1$.*

Antes de enunciarmos o Teorema de Fabricius-Bjerre precisamos dizer o que representarão as quantidades t_s, t_o, d e i , que nele serão relacionadas por intermédio de uma fórmula. Isto está feito a seguir para uma curva suave $\gamma : \mathbb{S}^1 \rightarrow \mathbb{R}^2$ qualquer.

1 - Denotaremos por t_s a quantidade de retas tangentes à curva γ nas bi-tangências de mesmo lado. Assim,

$$t_s = \#\{\text{bi-tangências de mesmo lado de } \gamma\}.$$

2 - De modo similar ao anterior, t_o representa a quantidade de retas tangentes à curva γ nas bi-tangências de lados opostos. Isto é,

$$t_o = \#\{\text{bi-tangências de lados opostos de } \gamma\}.$$

3 - Definimos d como a quantidade de pontos duplos da curva γ , ou seja,

$$d = \#\{\text{pontos duplos de } \gamma\}.$$

4 - Por fim, seja i a quantidade de inflexões presentes em γ . Isto é,

$$i = \#\{\text{inflexões de } \gamma\}.$$

1.2 Teoremas de Fabricius-Bjerre

Com as definições e observações da seção anterior, estamos em condição de enunciar o Teorema de Fabricius-Bjerre.

Teorema 1.10. [Fabricius-Bjerre] *Seja $\gamma \in \mathcal{G}(\mathbb{S}^1, \mathbb{R}^2)$. Então os números t_s, t_o, d e i satisfazem a seguinte relação*

$$t_s - t_o = d + \frac{i}{2}. \tag{1.1}$$

A equação (1.1) é devida a Fabricius-Bjerre, e como dito anteriormente, pode ser encontrada em [11]. Na subseção seguinte daremos a prova apresentada no artigo citado. Mas antes, vamos enunciar a extensão para este mesmo teorema dada em [12].

Teorema 1.11. [Fabricius-Bjerre] *Seja $\gamma : \mathbb{S}^1 \rightarrow \mathbb{R}^2$ uma curva genérica. Então os números t_s, t_o, d, i, c_1 (cúspides do tipo c_1) e c_2 (cúspides do tipo c_2) satisfazem a seguinte relação*

$$t_s - t_o = d + \frac{i}{2} + c_1 + \frac{c_2}{2}.$$

Uma demonstração para o Teorema 1.11 pode ser encontrada em [12], e é extremamente semelhante a que será feita nesta dissertação para o Teorema 1.10, apenas adicionando uma nova parte, que corresponde as cúspides.

1.2.1 A demonstração de Fabricius-Bjerre

Considere $\gamma \in \mathcal{G}(\mathbb{S}^1, \mathbb{R}^2)$ como uma curva orientada. Seja $u \in \mathbb{S}^1$ e p a reta tangente à γ em $\gamma(u)$. Considere $p+$ sendo a semi-tangente positiva e $p-$ a semi-tangente negativa em $\gamma(u)$ como na Figura 1.4.

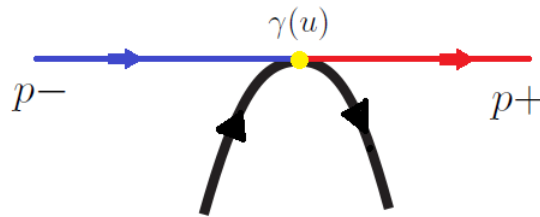


Figura 1.4: Semi-tangentes positivas e negativas.

Sem perda de generalidade, fixe um ponto p_0 na curva, p_0+ será sua semi-tangente positiva e p_0- sua semi-tangente negativa. Daremos uma volta completa em γ , percorrendo, com as tangentes (consequentemente com $p+$ e $p-$), todos os seus pontos, até voltarmos em p_0 .

Note que a quantidade de pontos nas interseções de $p+$ e $p-$ com a curva γ não se alteram, exceto quando passamos em um dos pontos de uma bi-tangência, um ponto duplo, ou uma inflexão.

Diremos que $p+$ ou $p-$ ganhou (perdeu) um ponto, quando a quantidade de pontos na interseção de $p+$ ou $p-$ com a curva aumentar (diminuir) ao passar por uma bi-tangência,

um ponto duplo, ou uma inflexão.

A ideia da prova é contabilizar essas perdas e ganhos enquanto as retas tangentes percorrem γ . Ao final, obteremos uma relação entre essas alternâncias, baseada no fato que a quantidade total de pontos em $(p_0+) \cap (\gamma(\mathbb{S}^1))$ e $(p_0-) \cap (\gamma(\mathbb{S}^1))$ permanece inalterada.

Começemos estudando a bi-tangência de mesmo lado. Como a curva γ está orientada, temos três casos a considerar, os quais exibimos na Figura 1.5.

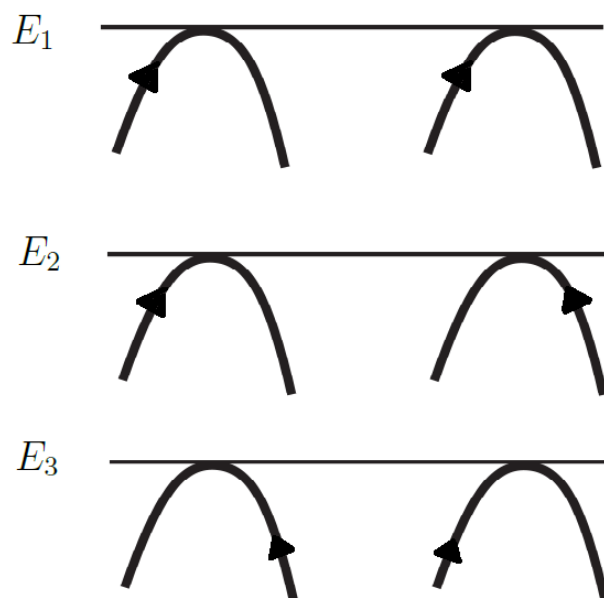


Figura 1.5: Tipos de bi-tangência do mesmo lado.

Veja que, no caso denotado por E_1 , temos que p_+ ganha dois pontos e p_- perde dois pontos. Para que fique claro, vamos explicitar os pontos ganhos na Figura 1.6, e perdidos na Figura 1.7 do caso E_1 .

Já no caso E_2 , p_+ ganha quatro pontos e p_- não se altera. No último caso, E_3 , p_- perde quatro pontos e p_+ não se altera. Chamaremos a quantidade de bi-tangências do tipo E_1 de t_1 , do tipo E_2 de t_2 e do tipo E_3 de t_3 .



(a) Olhando $p+$ imediatamente antes e depois do primeiro ponto da bi-tangência. Aqui ganhamos dois pontos.

(b) Olhando $p+$ imediatamente antes e depois do segundo ponto da bi-tangência. Aqui nada ocorre.

Figura 1.6: Pontos ganhos por $p+$ no caso E_1 .



(a) Olhando $p-$ imediatamente antes e depois do primeiro ponto da bi-tangência. Aqui nada ocorre.

(b) Olhando $p-$ imediatamente antes e depois do segundo ponto da bi-tangência. Aqui perdemos dois pontos.

Figura 1.7: Pontos perdidos por $p-$ no caso E_1 .

O caso para bi-tangências de lados opostos, ver Figura 1.8, é similar às bi-tangências de mesmo lado e apresentamos apenas o resultado final.

Em I_1 , $p+$ perde dois pontos e $p-$ ganha dois pontos. No caso I_2 , $p+$ perde quatro pontos e $p-$ não se altera. No último caso, $p-$ ganha quatro pontos e $p+$ não se altera. Chamaremos a quantidade de bi-tangências do tipo I_1 de s_1 , do tipo I_2 de s_2 e do tipo I_3 de s_3 .

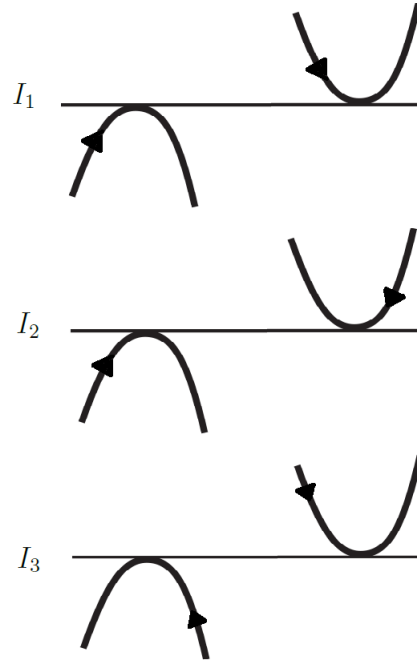


Figura 1.8: Estudo da bi-tangência de lados opostos.

Este estudo para os pontos duplos e inflexões é mais simples. Em resumo, quando $p+$ passa por um ponto duplo perde dois pontos e ao mesmo tempo $p-$ ganha dois pontos, e na inflexão um ponto é perdido em $p+$ e um é ganho em $p-$.

Explicitando o que foi obtido em uma tabela, temos:

	t_s			t_o			d	i
	t_1	t_2	t_3	s_1	s_2	s_3		
p_+	2	4	0	-2	-4	0	-2	-1
p_-	-2	0	-4	2	0	4	2	1

Tabela 1.1: Pontos ganhos e perdidos por $p+$ e $p-$.

Agora, usamos que a quantidade de pontos no conjunto interseção de p_0+ com a curva (e também de p_0- com a curva) não se altera. Então a soma das quantidades obtidas, tanto para $p+$ quanto para $p-$, deve ser zero. Isto nos dá as duas seguintes equações

$$2t_1 + 4t_2 = 2s_1 + 4s_2 + 2d + i \quad \text{e} \quad 2t_1 + 4t_3 = 2s_1 + 4s_3 + 2d + i, \quad (1.2)$$

a primeira referente $p+$ e a segunda referente a $p-$.

Somando as duas equações em (1.2), dividindo por quatro, usando que t_s é a quantidade total de bi-tangências de mesmo lado ($t_1 + t_2 + t_3$) e t_o é a quantidade total de bi-tangências de lados opostos ($s_1 + s_2 + s_3$), como feito abaixo:

$$4(t_1 + t_2 + t_3) = 4(s_1 + s_2 + s_3) + 4d + 2i$$

$$\Rightarrow t_s - t_o = d + \frac{i}{2}.$$

Obtemos (1.1) e, assim, terminamos a demonstração. ■

A seguir exibimos dois exemplos de curvas que satisfazem o Teorema 1.10. No primeiro exemplo apenas verificaremos que o teorema é válido, já no segundo, o usaremos para obter a quantidade de inflexões presente na curva.

Exemplo 1.12. *Apresentamos neste exemplo o conhecido nó **Trefoil**. Este nó é o exemplo mais simples de um nó não trivial. O nó Trefoil pode ser obtido dando um nó em uma corda e juntando as suas extremidades.*

Na Figura 1.9 apresentamos duas possíveis projeções no plano do nó Trefoil. É fácil ver que nas duas curvas temos

$$t_s = 3, \quad t_o = 0, \quad d = 3 \text{ e } i = 0.$$

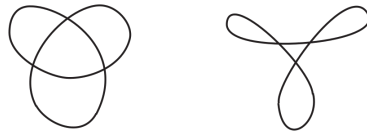


Figura 1.9: Curva Trefoil.

Claramente o Teorema 1.10 é válido como mostrado abaixo:

$$3 = 3 - 0 = 3 + \frac{0}{2} = 3.$$

Exemplo 1.13. A **Leminiscata** é a curva algébrica do quarto grau da equação cartesiana:

$$(u^2 + v^2)^2 = 2a(u^2 - v^2),$$

ela tem a forma similar ao símbolo de infinito (∞). Veja Figura 1.10.

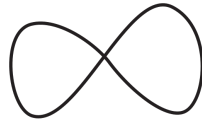


Figura 1.10: Curva Leminiscata.

Nesta curva é fácil ver que

$$t_s = 2, \quad t_o = 0 \text{ e } d = 1.$$

Todavia, não é tão simples saber quantas inflexões temos presente na Leminiscata. Assim, podemos aplicar o Teorema 1.10 para obter essa quantidade. Seguindo que

$$i = 2(t_s - t_o - d) = 2(2 - 0 - 1) = 2,$$

e portanto, o número de inflexões da curva Leminiscata é 2.

1.3 Uma demonstração alternativa

Esta seção é baseada na tese de Daniel Dreibelbis [9]. A ideia aqui é obter uma fórmula para relacionar pontos duplos e bi-tangências entre duas curvas planas, e então, aplicar essa fórmula para uma curva γ e uma translação de si mesma.

Sejam $\gamma, \psi : \mathbb{S}^1 \rightarrow \mathbb{R}^2$ duas curvas suaves e fechadas no plano. Considere $n : \mathbb{S}^1 \rightarrow \mathbb{S}^1$ o campo de vetores normais de γ , isto é, n associa para cada $p \in \mathbb{S}^1$ o vetor unitário que faz 90° em sentido anti-horário com $\gamma'(p)$. De modo análogo, seja $m : \mathbb{S}^1 \rightarrow \mathbb{S}^1$ o campo de vetores normais de ψ .

Vamos agora dar a noção de bi-tangência e ponto duplo para o caso em que temos duas curvas. Uma bi-tangência é um par de pontos $(u, v) \in \mathbb{S}^1 \times \mathbb{S}^1$ tal que a reta tangente

de γ em u coincide com a reta tangente de ψ em v . Do mesmo modo que anteriormente, a bi-tangência pode ocorrer de dois modos, uma bi-tangência de mesmo lado ou de lados opostos. Um ponto duplo é um par $(u, v) \in \mathbb{S}^1 \times \mathbb{S}^1$, tal que $\gamma(u) = \psi(v)$, isto é, uma interseção entre as duas curvas.

Proposição 1.14. *Para uma escolha genérica de duas curvas suaves e fechadas $\gamma, \psi : \mathbb{S}^1 \rightarrow \mathbb{R}^2$, nós temos um número finito de bi-tangências e pontos duplos.*

Demonstração. Defina a aplicação $\phi_{\gamma, \psi} : \mathbb{S}^1 \times \mathbb{S}^1 \rightarrow \mathbb{S}^1 \times \mathbb{S}^1 \times \mathbb{R}^2$ por

$$\phi_{\gamma, \psi}(u, v) = (n(u), m(v), \gamma(u) - \psi(v)).$$

Vamos considerar $\phi_{\gamma, \psi}$ como um elemento da família de aplicações

$$\Phi : \mathbb{S}^1 \times \mathbb{S}^1 \times \mathcal{C}^\infty(\mathbb{S}^1, \mathbb{R}^2) \times \mathcal{C}^\infty(\mathbb{S}^1, \mathbb{R}^2) \rightarrow \mathbb{S}^1 \times \mathbb{S}^1 \times \mathbb{R}^2,$$

definido por

$$\Phi(u, v, \gamma, \psi) = (n_\gamma(u), m_\psi(v), \gamma(u) - \psi(v)).$$

A aplicação Φ é uma submersão. Segue do Teorema da Transversalidade de Thom (ver [13]), que para escolhas genéricas de γ e ψ , a subvariedade bidimensional $\phi_{\gamma, \psi}(\mathbb{S}^1 \times \mathbb{S}^1)$ em $\mathbb{S}^1 \times \mathbb{S}^1 \times \mathbb{R}^2$ será transversal a toda subvariedade suave.

Defina agora os subconjuntos W_1 e W_2 de $\mathbb{S}^1 \times \mathbb{S}^1 \times \mathbb{R}^2$ como

$$W_1 = \{(n, m, v) \in \mathbb{S}^1 \times \mathbb{S}^1 \times \mathbb{R}^2 : n \cdot v = m \cdot v = 0\} \text{ e}$$

$$W_2 = \{(n, m, v) \in \mathbb{S}^1 \times \mathbb{S}^1 \times \mathbb{R}^2 : v = 0\}.$$

Temos que W_1 e W_2 são duas variedades bidimensionais. Como $\mathbb{S}^1 \times \mathbb{S}^1 \times \mathbb{R}^2$ tem dimensão 4, $\phi_{\gamma, \psi}(\mathbb{S}^1 \times \mathbb{S}^1)$ intersecta W_1 e W_2 em pontos isolados. Ainda, a interseção com W_1 nos dá as bi-tangências e a interseção com W_2 nos dá os pontos duplos. Assim, o conjunto de bi-tangências e pontos duplos é isolado em $\mathbb{S}^1 \times \mathbb{S}^1$ compacto, portanto é finito. ■

Proposição 1.15. *Para duas curvas suaves e fechadas $\gamma, \psi : \mathbb{S}^1 \rightarrow \mathbb{R}^2$ genéricas, todas as interseções são transversais e nenhum dos pontos de uma bi-tangência é uma inflexão.*

Demonstração. O subconjunto W de $\mathbb{S}^1 \times \mathbb{S}^1 \times \mathbb{R}^2$ definido por

$$W = \{(n, m, v) \in \mathbb{S}^1 \times \mathbb{S}^1 \times \mathbb{R}^2 : n = \pm m \text{ e } v = 0\}$$

é uma subvariedade de dimensão um. Sendo $\phi = \phi_{\gamma, \psi}$ da proposição anterior, vemos que W intersecta $\phi(\mathbb{S}^1 \times \mathbb{S}^1)$ exatamente nos pares (u, v) que são bi-tangências e pontos duplos ao mesmo tempo, isto é, são exatamente os pontos de interseção entre γ e ψ que não são transversais. Mas, $\phi(\mathbb{S}^1 \times \mathbb{S}^1)$ e W são transversais pela demonstração da Proposição 1.14. Portanto, analisando suas dimensões, não se tocam. Assim, γ e ψ são transversais. Isto nos dá que bi-tangências e pontos duplos não ocorrem ao mesmo tempo.

O subconjunto A de $\mathbb{S}^1 \times \mathbb{S}^1$ definido por

$$A = \{(p, q) \in \mathbb{S}^1 \times \mathbb{S}^1 : p \text{ é uma inflexão de } \gamma \text{ ou } q \text{ é uma inflexão de } \psi\},$$

pode ser visto como união de dois conjuntos, o primeiro sendo formado pelos pontos de inflexão de γ cartesiano com \mathbb{S}^1 e o segundo, \mathbb{S}^1 cartesiano com os pontos de inflexão de ψ , é um dimensional. Logo, temos que $\phi(A) \subset \phi(\mathbb{S}^1 \times \mathbb{S}^1)$ não intersecta W_1 , visto que suas dimensões não somam 4. Portanto, nenhum ponto de inflexão faz parte de uma bi-tangência. ■

Para as próximas proposições vamos precisar de uma função auxiliar $F_{\gamma, \psi}$. Sejam $\gamma, \psi : \mathbb{S}^1 \rightarrow \mathbb{R}^2$ duas curvas suaves e fechadas defina $F = F_{\gamma, \psi} : \mathbb{S}^1 \times \mathbb{S}^1 \rightarrow \mathbb{R}^2$ por

$$F(u, v) = (n(u) \cdot (\gamma(u) - \psi(v)), m(v) \cdot (\gamma(u) - \psi(v))). \quad (1.3)$$

Não é difícil ver que $F(u, v) = 0$ se, e somente se, (u, v) é uma bi-tangência ou um ponto duplo. Calculando a matriz Jacobiana de F usando que $n(u) \cdot \gamma'(u) = 0$ e $m(v) \cdot \psi'(v) = 0$, temos

$$J(F(u, v)) = \begin{bmatrix} n'(u) \cdot (\gamma(u) - \psi(v)) & n(u) \cdot \psi'(v) \\ m(v) \cdot \gamma'(u) & m'(v) \cdot (\gamma(u) - \psi(v)) \end{bmatrix}. \quad (1.4)$$

Em um ponto duplo, segue que

$$\det(J(F(u, v))) = -(n(u) \cdot \psi'(v))(m(v) \cdot \gamma'(u)) \neq 0, \quad (1.5)$$

pela transversalidade das intersecções. Além disso, o sinal do determinante em (1.5) é negativo, visto que os produtos internos dentre os parentes possuem sinais opostos. Para ver isso note que, enquanto um é um produto interno entre dois vetores que formam um ângulo menor do que 90° , o outro é um produto interno de dois vetores cujo ângulo entre si é maior do que 90° .

Por outro lado, em uma bi-tangência, sabemos que $\gamma'(u)$ e $\psi'(v)$ são múltiplos de $(\gamma(u) - \psi(v))$, logo

$$\det(J(F(u, v))) = (n'(u) \cdot (\gamma(u) - \psi(v)))(m'(v) \cdot (\gamma(u) - \psi(v))) \neq 0, \quad (1.6)$$

visto que na bi-tangência a curvatura não se anula. Analisando mais detalhadamente esse determinante, usamos novamente que $\gamma'(u)$ e $\psi'(v)$ são múltiplos de $(\gamma(u) - \psi(v))$ e que $n'(u) \cdot \gamma'(u)$ é a curvatura de γ em u e $m'(v) \cdot \psi'(v)$ é a curvatura de ψ em v , obtendo que o sinal do determinante em (1.6) é positivo em caso de uma bi-tangência do mesmo lado e negativo em um caso de bi-tangência de lados opostos.

O próximo teorema relaciona o índice de F com a característica de Euler da superfície $\mathbb{S}^1 \times \mathbb{S}^1$. Falaremos mais sobre o índice na Seção 3.2 do Capítulo 3.

Teorema 1.16. [Halpern] *Sejam $\gamma : \mathbb{S}^1 \rightarrow \mathbb{R}^2$ e $\psi : \mathbb{S}^1 \rightarrow \mathbb{R}^2$ duas curvas planas, fechadas, suaves e genéricas. Então*

$$O - S + D = 0, \quad (1.7)$$

onde O é o número de bi-tangências de lados opostas, S o número de bi-tangências de mesmo lado e D o número de pontos duplos.

Demonstração. Defina $F : \mathbb{S}^1 \times \mathbb{S}^1 \rightarrow \mathbb{R}^2$ como em (1.3). Pelos resultados anteriores temos que os zeros de F são transversais. Note que, sendo o par ordenado $(u, v) \in \mathbb{S}^2$ um zero de F , o par ordenado $(v, u) \neq (u, v)$ também é um zero de F . Além disso, o valor $\det(J(F(u, v)))$ é negativo em um ponto duplo ou uma bi-tangência de lados opostos e é

positivo sobre uma bi-tangência de mesmo lado. Portanto, o índice de F é $2(-D - O + S)$, ou seja,

$$\text{ind}(F) = 2(-D - O + S).$$

Agora usamos que a característica de Euler é 0 para o toro $\mathbb{S}^1 \times \mathbb{S}^1$, obtendo

$$0 = \text{ind}(F) = 2(-D - O + S),$$

concluindo o teorema, pois a característica de Euler é igual ao índice de F (Teorema de Poincaré-Hopf). ■

Teorema 1.10. [Fabricius-Bjerre] *Seja $\gamma \in \mathcal{G}(\mathbb{S}^1, \mathbb{R}^2)$. Então os números t_s, t_o, d e i satisfazem a seguinte relação*

$$t_s - t_o = d + \frac{i}{2}.$$

Demonstração. Fixe um vetor $v \in \mathbb{S}^1$ que não seja tangente a nenhum ponto de inflexão de γ e defina $\gamma_t : \mathbb{S}^1 \rightarrow \mathbb{R}^2$ ($t \in \mathbb{R}$) por

$$\gamma_t(v) = \gamma(v) + tv.$$

A ideia é usar o Teorema 1.16 para γ e γ_t para algum t suficientemente pequeno. Para isso vamos estudar três casos.

1 - $u \in \mathbb{S}^1$ não é ponto de inflexão de γ e v é tangente a γ em u .

Neste caso, aparece uma bi-tangência do mesmo lado e um ponto duplo quando olhamos γ e γ_{t_1} para t_1 pequeno.

2 - $u \in \mathbb{S}^1$ não é ponto de inflexão de γ e v não é tangente a γ em u .

Neste caso não aparecem bi-tangências nem pontos duplos quando olhamos γ e γ_t .

3 - Por último, $u \in \mathbb{S}^1$ é ponto de inflexão.

Aqui aparece uma bi-tangência de lado oposto quando olhamos γ e γ_{t_2} para t_2 pequeno.

Note também que as bi-tangências e pontos duplos originais de γ aparecem em quantidade dobrada quando olhamos o par γ e γ_t .

Por fim, tome t_0 suficientemente pequeno para que todas as observações anteriores sejam válidas simultaneamente. Com isso,

$$\begin{aligned} O &= 2t_o + i, \\ S &= 2t_s + \text{quantidade de vezes que ocorre o caso 1}, \\ D &= 2d + \text{quantidade de vezes que ocorre o caso 1}. \end{aligned} \tag{1.8}$$

Agora usamos o Teorema 1.16 com os valores O, S e D obtidos em (1.8), derivando que

$$2t_o + i - 2t_s + 2d = 0,$$

isto implica em

$$t_s - t_o = d + \frac{i}{2},$$

concluindo assim o teorema. ■

Mais detalhes das demonstrações feitas nesta seção podem ser encontradas em [9], onde também temos outras demonstrações para o Teorema 1.10.

Com esta última demonstração feita finalizamos este presente capítulo.

Capítulo 2

A Fórmula de Fabricius-Bjerre na Esfera

Neste capítulo iremos apresentar uma versão da fórmula de Fabricius-Bjerre para curvas fechadas na esfera \mathbb{S}^2 . Para tal, usaremos conceitos, como geodésica, curvatura geodésica, que podem ser encontrados em [5]. A demonstração em si, será muito semelhante a dada por Fabricius-Bjerre, trocando as retas tangentes por geodésicas, e pode ser encontrada em [19].

2.1 A fórmula na esfera

Considere $\gamma : \mathbb{S}^1 \rightarrow \mathbb{S}^2$ uma curva esférica fechada e suave. A ideia aqui é obter uma fórmula análoga à de Fabricius-Bjerre para γ . O resultado final é apresentado na Tabela 2.1, onde a é o número de pares antipodais de γ .

Curva no plano	Curva na esfera
$t_s - t_o = d + \frac{i}{2}$	$t_s - t_o = d + \frac{i}{2} - a$

Tabela 2.1: Fórmula no plano e na esfera.

Daremos a seguir os conceitos de bi-tangência, ponto duplo, par antipodal e inflexão na esfera.

Uma **bi-tangência**, neste caso, é um grande círculo l que é tangente a $\gamma(\mathbb{S}^1)$ em precisamente dois pontos. Assumimos que nenhum desses pontos fazem parte de um ponto duplo e também não são inflexões. Dividiremos as bi-tangências em dois casos, de **mesmo lado** e de **lados opostos**, de forma análoga a feita no Capítulo 1.

A noção de **ponto duplo** é análoga a dada no Capítulo 1. Excluiremos curvas com pontos tripos.

Na esfera, diremos que u é uma **inflexão ordinária** quando a curvatura geodésica k_g de γ se anular em u , mas $(k_g)'(u) \neq 0$.

Por fim, dois pontos na esfera são antipodais se o segmento que os une é um diâmetro. Para todo $p \in \mathbb{S}^2$, seja \bar{p} sua antípoda. Assim p e \bar{p} são chamados antipodais. Se existirem $u, v \in \mathbb{S}^1$ com $\gamma(u) = p$ e $\gamma(v) = \bar{p}$, então $\{p, \bar{p}\}$ será chamado **par antipodal** de γ . Note que, como conjunto, temos $\{p, \bar{p}\} = \{\bar{p}, p\}$. Assumiremos que u e v não fazem parte de nenhum ponto duplo ou bi-tangência de γ ;

Com os conceitos acima podemos definir o conjunto $\mathcal{G}(\mathbb{S}^1, \mathbb{S}^2)$, de forma similar à Definição 1.8 do Capítulo 1. As curvas $\gamma \in \mathcal{G}(\mathbb{S}^1, \mathbb{S}^2)$ serão chamadas de curvas **genéricas**, como em [19].

Teorema 2.1. [Weiner] *Seja $\gamma : \mathbb{S}^1 \rightarrow \mathbb{S}^2$ uma curva fechada e genérica na esfera. Então,*

$$t_s - t_o = d + \frac{i}{2} - a, \quad (2.1)$$

onde t_s representa a quantidade de bi-tangências de mesmo lado, t_o quantidade de bi-tangências de lados opostos, d quantidade de pontos duplos, i quantidade de inflexões e a quantidade de pares antipodais de γ .

Demonstração. A prova é semelhante à dada por Fabricius-Bjerre, mas neste caso usaremos a semi-geodésica positiva e a semi-geodésica negativa como “retas” tangentes.

Seja $u \in \mathbb{S}^1$, considere $p = \gamma(u)$ e seja $v = \gamma'(u)$ o vetor unitário tangente a $\gamma(\mathbb{S}^1)$ em u . Denote por l_u^+ , respectivamente l_u^- , o segmento geodésico de comprimento π saindo de p na direção v , respectivamente $-v$.

Para cada $u \in \mathbb{S}^1$ seja $N^+(u)$ ($N^-(u)$) o número de pontos em $\gamma(\mathbb{S}^1) \cap l_u^+$ ($\gamma(\mathbb{S}^1) \cap l_u^-$). Faça então

$$N(u) := N^+(u) - N^-(u) \quad (u \in \mathbb{S}^1).$$

Note que quando u percorre \mathbb{S}^1 as mudanças de valores $N(u)$ ocorrem quando u passa um por um ponto duplo, uma bi-tangência ou uma inflexão do mesmo modo que no caso planar. O que ocorre de novo é o caso em que $\gamma(u)$ faz parte de um par $\{p, \bar{p}\}$ antipodal de γ .

Sejam $u, v \in \mathbb{S}^1$ tais que $\{p = \gamma(u), \bar{p} = \gamma(v)\}$ seja um par antipodal. Vamos verificar o que acontece com os valores $N(u)$ neste caso. Para isso, tome uma vizinhança V de \bar{p} suficientemente pequena. Agora considere $\bar{\gamma}(x) := \overline{\gamma(x)}, \forall x \in V$. Assim, podemos ver que quando passamos por p com as semi-geodésicas de γ a semi-geodésica negativa irá perder um ponto e a positiva irá ganhar um ponto. Lembre que temos um par antipodal. Logo, o comportamento apresentado é o oposto ao de um ponto duplo, disto segue a equação dada em (2.1) e o teorema está provado. ■

Corolário 2.2. *Seja $\gamma : \mathbb{S}^1 \rightarrow \mathbb{S}^2$ uma curva esférica fechada. Se $\gamma(\mathbb{S}^1) \subset H$ com H um hemisfério aberto de \mathbb{S}^2 . Então,*

$$t_s - t_o = d + \frac{i}{2}. \quad (2.2)$$

Demonstração. Basta ver que $a = 0$ na equação (2.1), pois não temos pares de pontos antipodais. ■

2.2 Aplicações

Seja $\alpha : \mathbb{S}^1 \rightarrow \mathbb{R}^3$ uma curva suave fechada no espaço. Nós vamos supor que α tem curvatura k estritamente positiva. Seja τ a torção de α . Vamos considerar α parametrizada pelo comprimento de arco e definir $\gamma : \mathbb{S}^1 \rightarrow \mathbb{S}^2$ por $\gamma(u) = \alpha'(u)$. A curva γ assim definida é chamada de **indicatriz tangente** de α .

Aplicaremos o Teorema 2.1 para γ e obteremos uma fórmula para α . Para tal, vamos estudar a interpretação de cada termo na equação (2.1) em relação a curva α .

1- Pontos Duplos

Um ponto duplo (u, v) em γ , isto é, $\gamma(u) = \gamma(v)$, é equivalente a curva α ter o mesmo vetor tangente em $\alpha(u)$ e $\alpha(v)$. Diremos que tais pontos são **tangentes diretamente paralelas**.

2- Par Antipodal

Um par $\{p, \bar{p}\}$ antipodal de γ corresponde a um par de pontos em $\alpha(\mathbb{S}^1)$ com vetores tangentes em direção oposta. Chamaremos esses pontos de **tangentes opostamente paralelas**.

3- Ponto de inflexão

Seja $u \in \mathbb{S}^1$ e $k_g(u)$ a curvatura geodésica de γ em u . Então,

$$\begin{aligned}
 k_g(u) &= \frac{\gamma(u) \cdot (\gamma'(u) \times \gamma''(u))}{\|\gamma'(u)\|^3} \\
 &= \frac{\alpha'(u) \cdot (\alpha''(u) \times \alpha'''(u))}{(|1| \|\alpha''(u)\| \sin(\pi/2))^3} \\
 &= \frac{\det(\alpha'(u), \alpha''(u), \alpha'''(u))}{\|\alpha'(u) \times \alpha''(u)\|^2} \frac{\|\alpha'(u)\|^3}{\|\alpha'(u) \times \alpha''(u)\|} \\
 &= \frac{\tau(u)}{k(u)}.
 \end{aligned} \tag{2.3}$$

Segue de (2.3) que $u \in \mathbb{S}^1$ é uma inflexão de γ se, e somente se, $\tau(u) = 0$ e $\tau'(u) \neq 0$. Um ponto $u \in \mathbb{S}^1$ com $\tau(u) = 0$ e $\tau'(u) \neq 0$ será chamado de **vértice** de α .

4- Bi-tangência

Suponha que o grande círculo l é uma bi-tangência de γ nos pontos $\gamma(u)$ e $\gamma(v)$, $u, v \in \mathbb{S}^1$. Neste caso, usando a regra da mão direita, temos que

$$\gamma(u) \times \gamma'(u) = \pm \gamma(v) \times \gamma'(v).$$

Assim, a binormal indicatriz $\beta : \mathbb{S}^1 \rightarrow \mathbb{S}^2$ dada por

$$\beta(z) = \frac{\gamma(z) \times \gamma'(z)}{\|\gamma(z) \times \gamma'(z)\|},$$

é tal que $\beta(u) = \pm \beta(v)$.

Seja $\vartheta(z)$, para todo $z \in \mathbb{S}^1$, o plano osculador a $\alpha(\mathbb{S}^1)$ em $\alpha(z)$. Neste caso, $\vartheta(u)$ é paralelo a $\vartheta(v)$.

4.1- Se l representa uma bi-tangência do mesmo lado, veja l como o equador de \mathbb{S}^2 e considere o hemisfério norte como o hemisfério que contém vizinhanças de $\gamma(u)$ e $\gamma(v)$, que estão do mesmo lado para vizinhanças suficientemente pequenas. Seja N o polo norte. Então,

$$(\alpha(z) \cdot N)' = \gamma(z) \cdot N > 0,$$

para pontos z em vizinhanças suficientemente pequenas de u ou v . Isto é equivalente a curva α transpor dois planos osculadores paralelos $\vartheta(u)$ e $\vartheta(v)$ indo nas mesmas direções dadas por $\beta(u)$ e $\beta(v)$, respectivamente. Neste caso diremos que $\alpha(u)$ e $\alpha(v)$ possuem **planos osculadores concordantes**.

4.2- Ocorrendo uma bi-tangência de lados opostos escolhemos como polo norte qualquer um dos polos dados quando l é um hemisfério de \mathbb{S}^2 , e para vizinhanças suficientemente pequenas U de $\gamma(u)$ e V de $\gamma(v)$, teremos

$$(\alpha(z) \cdot N)' = \gamma(z) \cdot N, z \in U \text{ e } (\alpha(z) \cdot N)' = -\gamma(z) \cdot N, z \in V,$$

com sinais opostos. Isto é equivalente a curva α transpor dois planos osculadores paralelos $\vartheta(u)$ e $\vartheta(v)$, um indo na direção dada pela binormal indicatriz e o outro indo em direção oposta a dada pela binormal indicatriz. Neste caso diremos que temos **planos osculadores discordantes**.

Com esse estudo feito podemos aplicar o Teorema 2.1 em α como segue.

Teorema 2.3. *Seja $\alpha : \mathbb{S}^1 \rightarrow \mathbb{R}^3$ uma curva espacial parametrizada pelo comprimento de arco com curvatura k positiva e $\gamma = \alpha' : \mathbb{S}^1 \rightarrow \mathbb{S}^2$ genérica. Então,*

$$t_s - t_o = d + \frac{i}{2} - a,$$

onde t_s representa a quantidade de planos osculadores concordante, t_o quantidade de planos osculadores discordantes, d a quantidade de tangentes diretamente paralelas, i quantidade de vértices e a quantidade de tangentes opostamente paralelas de α .

Capítulo 3

Fórmula Geométrica

Este capítulo é baseado nos artigos [7] e [8] e contém o Teorema 3.23, principal resultado desta dissertação, o qual apresenta fórmulas, para uma certa classe de curvas planas, envolvendo bi-tangências, pontos duplos e inflexões.

Para o desenvolvimento deste capítulo iniciaremos com a definição da aplicação $F_\gamma : \mathbb{R}^2 \rightarrow \mathbb{R}^2$, dada por

$$F_\gamma(u, v) = \left(\frac{\det(\gamma'(u), \gamma(u) - \gamma(v))}{(u - v)^2}, \frac{\det(\gamma'(v), \gamma(u) - \gamma(v))}{(u - v)^2} \right),$$

onde $\gamma \in \mathcal{G}(I, \mathbb{R}^2)$. Em seguida, calcularemos o índice em cada ponto singular do campo F_γ e chegaremos na seguinte expressão

$$\text{ind}(F_\gamma) = 2(-d - t_o + t_s - c_1) - i - c_2,$$

onde os termos d , t_o , t_s e i são os mesmos definidos no Capítulo 1 e os termos c_1 e c_2 são respectivamente o número de cúspides do primeiro e do segundo tipo a serem definidas.

Por fim, calcularemos o índice do campo F_γ , para $\gamma(u) = (a_k u^k, b_m u^m)$, $a_k b_m \neq 0$, $0 < k < m$, fazendo uso da fórmula de Bendixson

$$\text{ind}_p(F_\gamma) = 1 + \frac{e - h}{2},$$

onde e representa o número de setores elípticos e h o número de setores hiperbólicos numa vizinhança do ponto de equilíbrio p , para mais detalhes ver, por exemplo, [3]. Combinando estes resultados obteremos o Teorema 3.23.

3.1 Definições e resultados preliminares

Esta seção visa definir cúspide do primeiro, cúspide do segundo tipo, o campo F_γ e relacionar seus zeros com os objetos geométricos estudados.

Definição 3.1. *Seja $\gamma : I \rightarrow \mathbb{R}^2$ uma curva suave, $I \subset \mathbb{R}$ intervalo aberto. Uma **cúspide** de γ é uma ponto $u \in I$ singular tal que: em uma vizinhança de $\gamma(u)$ a curva γ possui dois ramos, para os quais as retas tangentes em $\gamma(u)$ são coincidentes.*

Neste trabalho dividiremos os pontos de cúspides em dois tipos. Sabendo que uma vizinhança da curva em um ponto de cúspide $\gamma(u)$ é composta de dois arcos convexos sem pontos comuns, temos: uma cúspide do tipo c_1 ou **cúspide do primeiro tipo**, sendo quando os arcos convexos situam-se em lados opostos da reta tangente no ponto de cúspide; uma cúspide do tipo c_2 ou **cúspide do segundo tipo**, quando os arcos convexos encontra-se no mesmo lado da reta tangente.

A Figura 3.1 ilustra os dois tipos de cúspides mencionados.

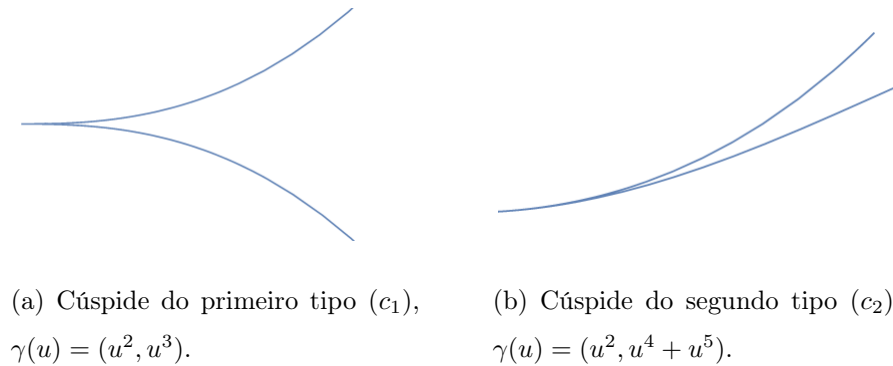


Figura 3.1: Cúspides.

Por simplicidade, a quantidade de cúspides do tipo c_1 será denotada por c_1 . O uso da mesma notação para esses dois objetos não nós trará nenhuma confusão, visto que sempre estará claro se estamos falando da cúspide ou de sua quantidade. Do mesmo modo, a quantidade de cúspides do tipo c_2 será dada por c_2 .

Definição 3.2. Definimos o conjunto $\mathcal{G}(I, \mathbb{R}^2)$ como sendo o conjunto de todas as curvas $\gamma : I \rightarrow \mathbb{R}^2$ suaves, com as seguintes condições:

(i) A curva γ apresenta um número finito de pontos duplos, que são todos transversais e não há pontos tripos;

(ii) A curva γ tem um número finito de bi-tangências, sendo todas regulares (não fazem parte de inflexões) e não possui tri-tangências;

(iii) A curva γ apresenta um número finito de pontos de inflexões, que são ordinários e nenhum deles é uma cúspide;

(iv) A curva γ tem um número finito de cúspides c_1 e c_2 .

A Definição 3.2 dada aqui se assemelha, com a Definição 1.8 do Capítulo 1, todavia, como perdemos a compacidade do domínio, precisamos colocar a condição dos números t_s, t_o, d, i, c_1 e c_2 serem finitos como hipótese. Temos que $\mathcal{G}(I, \mathbb{R}^2)$ é residual em $\mathcal{C}^\infty(I, \mathbb{R}^2)$ com a topologia de Whitney \mathcal{C}^∞ . Chamaremos as curvas $\gamma \in \mathcal{G}(I, \mathbb{R}^2)$ de curvas **genéricas**.

Para cada curva $\gamma \in \mathcal{G}(I, \mathbb{R}^2)$ iremos associar uma função $F_\gamma : I \times I \rightarrow \mathbb{R}^2$ dada por

$$F_\gamma(u, v) = \left(\frac{\det(\gamma'(u), \gamma(u) - \gamma(v))}{(u - v)^2}, \frac{\det(\gamma'(v), \gamma(u) - \gamma(v))}{(u - v)^2} \right). \quad (3.1)$$

Pode não parecer claro, mas a função F_γ está bem definida quando $u = v$. Além disso, os zeros de F_γ estão relacionados com propriedades geométricas da curva γ , como mostra a proposição que segue.

Proposição 3.3. Seja $\gamma \in \mathcal{G}(I, \mathbb{R}^2)$ e F_γ como em (3.1). Então F_γ está bem definida em $u = v$ e vale zero se, e somente se:

- (u, v) é um ponto duplo ou uma bi-tangência, se $u \neq v$; ou
- u é uma inflexão ou uma cúspide, se $u = v$.

Demonstração. Suponhamos primeiramente o caso $u \neq v$. Se estivermos em uma bi-tangência ou ponto duplo, é fácil ver que F_γ irá se anular em (u, v) . Reciprocamente,

se $F_\gamma(u, v) = (0, 0)$, então $\gamma(u) = \gamma(v)$, nos dando um ponto duplo, ou $\gamma'(u)$ e $\gamma'(v)$ são ambos múltiplos de $\gamma(u) - \gamma(v)$, nos dando uma bi-tangência.

Para o caso $u = v$, vamos explicitar o valor $F_\gamma(u, u)$. Considere,

$$f_1(u, v) = \frac{\det(\gamma'(u), \gamma(u) - \gamma(v))}{(u - v)^2} \quad \text{e} \quad f_2(u, v) = \frac{\det(\gamma'(v), \gamma(u) - \gamma(v))}{(u - v)^2}.$$

Expandindo γ em série de Taylor em torno de v , temos

$$\begin{aligned} \gamma(u) &= \sum_{n=0}^{\infty} \frac{\gamma^{(n)}(v)(u - v)^n}{n!} \\ &= \gamma(v) + \gamma'(v)(u - v) + \frac{\gamma''(v)(u - v)^2}{2!} + \sum_{n=2}^{\infty} \frac{\gamma^{(1+n)}(v)(u - v)^{(1+n)}}{(1 + n)!}. \end{aligned} \quad (3.2)$$

Substituindo (3.2) na expressão de f_2 segue que

$$\begin{aligned} f_2(u, v) &= \det\left(\frac{\gamma'(v)}{(u - v)}, \frac{\gamma(u) - \gamma(v)}{(u - v)}\right) \\ &= \det\left(\frac{\gamma'(v)}{(u - v)}, \gamma'(v) + \frac{\gamma''(v)(u - v)}{2!} + \sum_{n=2}^{\infty} \frac{\gamma^{(1+n)}(v)(u - v)^n}{(1 + n)!}\right) \\ &= \frac{1}{2} \det(\gamma'(v), \gamma''(v)) + (u - v) \det\left(\gamma'(v), \sum_{n=2}^{\infty} \frac{\gamma^{(1+n)}(v)(u - v)^{(n-2)}}{(1 + n)!}\right). \end{aligned} \quad (3.3)$$

Também temos a seguinte igualdade entre f_1 e f_2 :

$$\begin{aligned} f_1(u, v) &= -\frac{\det(\gamma'(u), \gamma(v) - \gamma(u))}{(v - u)^2} \\ &= -f_2(v, u). \end{aligned} \quad (3.4)$$

Logo, tomando $u = v$ e usando (3.3) juntamente com (3.4) obtemos

$$F_\gamma(u, u) = \frac{1}{2} \left(-\det(\gamma'(u), \gamma''(u)), \det(\gamma'(u), \gamma''(u)) \right).$$

Desta última igualdade segue que $f_1(u, u) = f_2(u, u) = 0$ se, e somente se, $\det(\gamma'(u), \gamma''(u)) = 0$, isto é, se u é um ponto de inflexão ou uma cúspide. ■

Vamos exibir dois exemplos relacionados com a Proposição 3.3. Neles poderemos ver a relação dos zeros de F_γ com os objetos geométricos estudados.

Exemplo 3.4. Considere $\gamma(u) = (u^2, u^3)$, ver Figura 3.2. Calculando F_γ temos,

$$\begin{aligned} F_\gamma(u, v) &= \left(\frac{\det(\gamma'(u), \gamma(u) - \gamma(v))}{(u - v)^2}, \frac{\det(\gamma'(v), \gamma(u) - \gamma(v))}{(u - v)^2} \right) \\ &= \left(\frac{\det((2u, 3u^2), (u^2 - v^2, u^3 - v^3))}{(u - v)^2}, \frac{\det((2v, 3v^2), (u^2 - v^2, u^3 - v^3))}{(u - v)^2} \right) \\ &= (-u(u + 2v), v(2u + v)). \end{aligned}$$

Neste caso, é fácil ver que $F_\gamma(u, v) = (0, 0)$ somente quando $u = v = 0$, ou seja, sobre a cúspide.

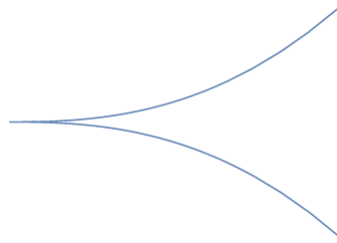


Figura 3.2: Curva $\gamma(u) = (u^2, u^3)$.

Exemplo 3.5. Neste exemplo, além de estudar os zeros do campo F_γ , iremos ver um método que usa o determinante para distinguir os dois tipos de bi-tangências estudadas.

Considere aqui $\gamma(u) = (u^2 - 4u, u^5 + u^4 - 4u^3 - 2u^2 + 3u)$, ver Figura 3.3.

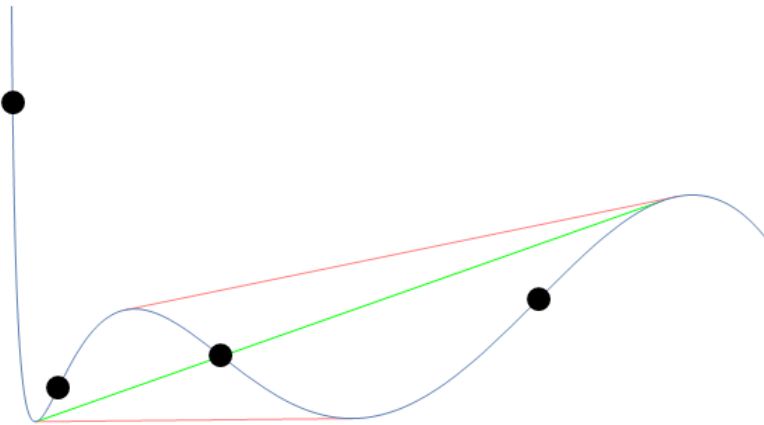


Figura 3.3: Curva $\gamma(u) = (u^2 - 4u, u^5 + u^4 - 4u^3 - 2u^2 + 3u)$.

Após alguns cálculos,

$$F_\gamma(u, v) = (-5 - 3u^4 + u^3(14 - 6v) - 16v + 4v^2 + 4v^3 - 4u^2(-4 - 2v + v^2) - 2u(16 - 8v - 3v^2 + v^3),$$

$$5 + 2u^3(-2 + v) + 32v - 16v^2 - 14v^3 + 3v^4 + u^2(-4 - 6v + 4v^2) + 2u(8 - 8v - 4v^2 + 3v^3).$$

Estudando $F_\gamma(u, v) = (0, 0)$ temos um total de dez pares (u, v) que zeram F_γ . Destes, quatro são inflexões, especificamente: $u = v = -0.09766, -1.33179, 1$ e 2.56279 . De fato,

$$\det(\gamma'(-0.09766), \gamma''(-0.09766)) = 0,$$

$$\det(\gamma'(-1.33179), \gamma''(-1.33179)) = 0,$$

$$\det(\gamma'(1), \gamma''(1)) = 0,$$

$$\det(\gamma'(2.56279), \gamma''(2.56279)) = 0.$$

Os outros seis pares correspondem a três bi-tangências. Estes pares são:

$$(-1.74248, 0.44769), (-0.68310, 1.27836) \text{ (duas bi-tangências de mesmo lado) e} \\ (-1.70599, 1.2586) \text{ (bi-tangência de lados opostos).}$$

Os sinais da curvatura da curva γ em cada ponto do par de bi-tangência pode nos dizer qual o seu tipo. Se tivermos o mesmo sinal, é uma bi-tangência de mesmo lado, e se, em cada ponto do par em questão obtivermos um sinal diferente para a curvatura, então temos uma bi-tangência de lados opostos. No nosso caso,

$$\det(\gamma'(-1.74248), \gamma''(-1.74248)), \det(\gamma'(0.44769), \gamma''(0.44769)) > 0,$$

$$\det(\gamma'(-0.68310), \gamma''(-0.68310)), \det(\gamma'(1.27836), \gamma''(1.27836)) < 0,$$

$$\det(\gamma'(-1.70599), \gamma''(-1.70599)) > 0 \text{ e } \det(\gamma'(1.2586), \gamma''(1.2586)) < 0.$$

3.2 O índice de F_γ e propriedades geométricas de γ

Queremos, com esta seção definir, o índice de um campo de vetores contínuo $f : \mathbb{R}^2 \rightarrow \mathbb{R}^2$ e verificar que o índice de F_γ , que estamos utilizando, é dado exatamente pelas propriedades geométricas relacionadas com os números d, t_o, t_s, i, c_1 e c_2 .

Definição 3.6. *Seja $f : \mathbb{R}^2 \rightarrow \mathbb{R}^2$ uma função contínua e \mathbb{S}_ϵ uma curva de Jordan que não contem zeros de f . Definimos o sentido anti-horário como a orientação positiva de \mathbb{S}_ϵ . Considere $(\frac{f}{\|f\|}) : \mathbb{S}_\epsilon \rightarrow \mathbb{S}^1$ e tome um ponto q em \mathbb{S}_ϵ . Quando q percorre uma volta completa, no sentido positivo, em \mathbb{S}_ϵ , o vetor $(\frac{f}{\|f\|})(q)$ percorrerá uma número inteiro de voltas em \mathbb{S}^1 , tal número é chamado **grau da aplicação** $(\frac{f}{\|f\|})$.*

Exemplo 3.7. *Considere $f : \mathbb{R}^2 \rightarrow \mathbb{R}^2$ dada por $f(u, v) = (-u, v)$. Seja $\mathbb{S}_\epsilon = \mathbb{S}^1$ e $q = (1, 1)$. Não é difícil notar que quando o ponto q percorre uma volta, em sentido positivo, em \mathbb{S}^1 , o vetor $f(q) = (\frac{f}{\|f\|})(q)$ também dá uma volta em \mathbb{S}^1 , mas em sentido contrário. Então, nesse caso, o grau da aplicação f é -1 .*

Definição 3.8. *Seja $f : \mathbb{R}^2 \rightarrow \mathbb{R}^2$ uma função contínua e p um ponto isolado em $f^{-1}(0)$. Escolha uma bola B_ϵ centrada em p com $f^{-1}(0) \cap \overline{B}_\epsilon = p$ e seja \mathbb{S}_ϵ sua fronteira. O **índice de f em p** , $ind_p(f)$, é definido como o grau da aplicação $(\frac{f}{\|f\|}) : \mathbb{S}_\epsilon \rightarrow \mathbb{S}^1$, a orientação é dada em sentido anti-horário. Se $f^{-1}(0)$ é um conjunto finito, definiremos o **índice de f** , $ind(f)$, por*

$$ind(f) = \sum_{\{p: f(p)=0\}} ind_p(f).$$

Usaremos essa última definição para obter o índice do campo F_γ , que será a soma dos índices em seus zeros, que pela Proposição 3.3, sabemos quais são.

Exemplo 3.9. *Considere $f : \mathbb{R}^2 \rightarrow \mathbb{R}^2$ dada por $f(u, v) = (-u, v)$. Seja $\mathbb{S}_\epsilon = \mathbb{S}^1$ e $q = (1, 1)$. Já sabemos que o grau da aplicação f é -1 . Como a origem é o único zero de f , segue que*

$$ind(f) = -1.$$

Veja que essa não é a única maneira de se calcular o índice de $f : \mathbb{R}^2 \rightarrow \mathbb{R}^2$. Podemos, por exemplo, utilizar a fórmula de Bendixson

$$\text{ind}_p(f) = 1 + \frac{e - h}{2}, \quad (3.5)$$

para obter o índice num ponto de equilíbrio p . Em (3.5), obtida em [3], e é o número de setores elípticos e h é o número de setores hiperbólicos. Como exemplo, na Figura 3.4 esboçamos um retrato de fase com exatamente 2 setores hiperbólicos e 2 setores elípticos.

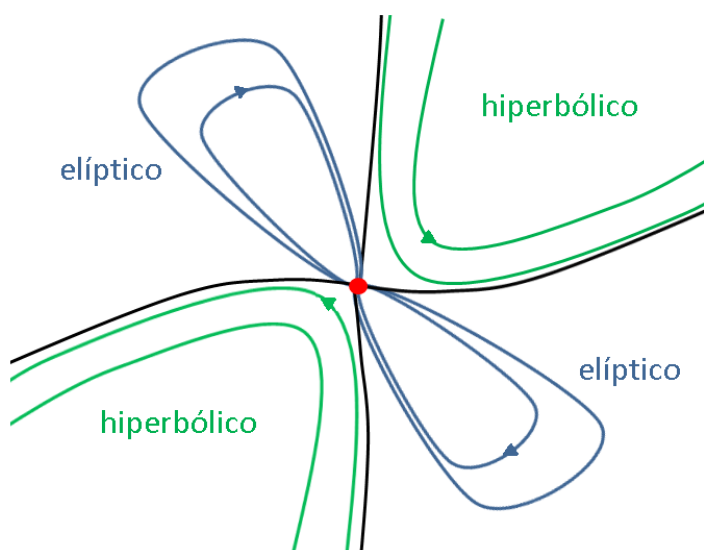


Figura 3.4: Setores elípticos e hiperbólicos.

Podemos aplicar a fórmula de Bendixson no Exemplo 3.9 usando que o número de setores hiperbólicos é igual a 4 e não há setores elípticos (ver Figura 3.5), assim

$$\text{ind}(f) = \text{ind}_0(f) = 1 + \frac{e - h}{2} = 1 + \frac{0 - 4}{2} = 1 - 2 = -1.$$

A proposição a seguir mostra que os pontos duplos, bi-tangências e inflexões são pontos ordinários de F_γ , ou seja, o determinante da matriz Jacobiana de F_γ é diferente de zero nestes pontos. Sabendo disso, usaremos o sinal desse determinante para obter o índice do campo F_γ sobre cada um desses pontos mencionados.

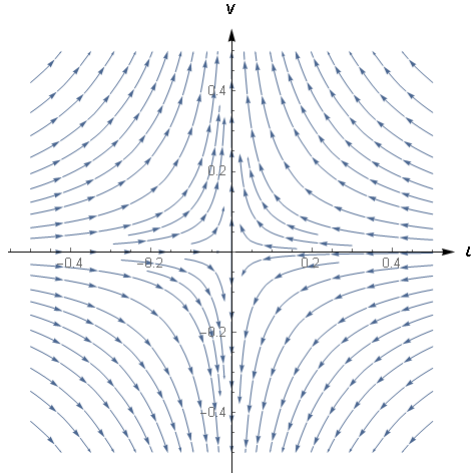


Figura 3.5: Campo de vetores para $f(u, v) = (-u, v)$.

Proposição 3.10. *Considere $\gamma \in \mathcal{G}(I, \mathbb{R}^2)$. Então, o índice $\text{ind}_p(F_\gamma)$ é:*

- -1 em um ponto duplo, uma bi-tangência de lados opostos ou uma inflexão;
- 1 em uma bi-tangência de mesmo lado.

Demonstração. A matriz Jacobiana de F_γ sobre um zero tem a seguinte expressão

$$J(F_\gamma)(u, v) = \frac{1}{(u-v)^2} \begin{pmatrix} \det(\gamma''(u), \gamma(u) - \gamma(v)) & \det(\gamma'(u), -\gamma'(v)) \\ \det(\gamma'(v), \gamma'(u)) & \det(\gamma''(v), \gamma(u) - \gamma(v)) \end{pmatrix}. \quad (3.6)$$

Se (u, v) é um ponto duplo, então o determinante da matriz em (3.6) é

$$-\left(\frac{\det(\gamma'(v), \gamma'(u))}{(u-v)^2} \right)^2,$$

o qual não é zero pela transversalidade do ponto duplo. Usando que o índice sobre um zero ordinário é -1 se o sinal do determinante é negativo e é 1 se esse sinal é positivo, temos que sobre um ponto duplo o índice de F_γ é -1 .

Se (u, v) é uma bi-tangência, temos que o determinante da matriz em (3.6) é

$$\frac{\det(\gamma''(u), \gamma(u) - \gamma(v)) \det(\gamma''(v), \gamma(u) - \gamma(v))}{(u-v)^4},$$

usando que $(\gamma(u) - \gamma(v))$ é um múltiplo não nulo de $\gamma'(u)$, $(\gamma(u) - \gamma(v)) = \alpha\gamma'(u)$, mas também é múltiplo não nulo de $\gamma'(v)$, $(\gamma(u) - \gamma(v)) = \beta\gamma'(v)$, e denotando por $k_{\gamma(u)}$ e $k_{\gamma(v)}$ as curvaturas de γ em u e v respectivamente, temos que

$$\det(\gamma''(u), \alpha\gamma'(u)) \det(\gamma''(v), \beta\gamma'(v)) = \alpha k_{\gamma(u)} \beta k_{\gamma(v)},$$

que é um valor não nulo, pois a regularidade das bi-tangências (nem u , nem v são inflexões) implica que as curvaturas são não nulas, e é positivo se a bi-tangência é do mesmo lado (índice 1) e negativo se a bi-tangência é de lado opostos (índice -1).

No caso em que $u = v$ é um ponto de inflexão, temos

$$J(F_\gamma(u, u)) = \frac{1}{2} \begin{pmatrix} -\det(\gamma'(u), \gamma'''(u)) & 0 \\ 0 & \det(\gamma'(v), \gamma'''(v)) \end{pmatrix}.$$

Mas então, o determinante da matriz Jacobiana sobre um ponto de inflexão é

$$-\frac{1}{4}(\det(\gamma'(u), \gamma'''(u)))^2,$$

e a condição do ponto de inflexão ser ordinário nos dá que este valor é não nulo, portanto negativo (índice -1). Concluindo essa demonstração. \blacksquare

A próxima proposição nos dá o índice do campo F_γ sobre pontos de cúspides c_1 e c_2 . Como esses zeros de F_γ não são ordinários, vamos utilizar a fórmula de Bendixson para esse cálculo.

Proposição 3.11. *Considere $\gamma \in \mathcal{G}(I, \mathbb{R}^2)$. Então, o índice $\text{ind}_p(F_\gamma)$ é:*

- -2 sobre uma cúspide c_1 ;
- -1 sobre uma cúspide c_2 .

Demonstração. Os índices para as cúspides serão obtidos usando a fórmula de Bendixson

$$\text{ind}_p(F_\gamma) = 1 + \frac{e - h}{2}.$$

A cúspide c_1 é localmente dada pela curva $\gamma(u) = (u^2, u^3)$, portanto o campo F_γ associado a γ é dado por

$$F_\gamma(u, v) = (-u(u + 2v), v(2u + v)),$$

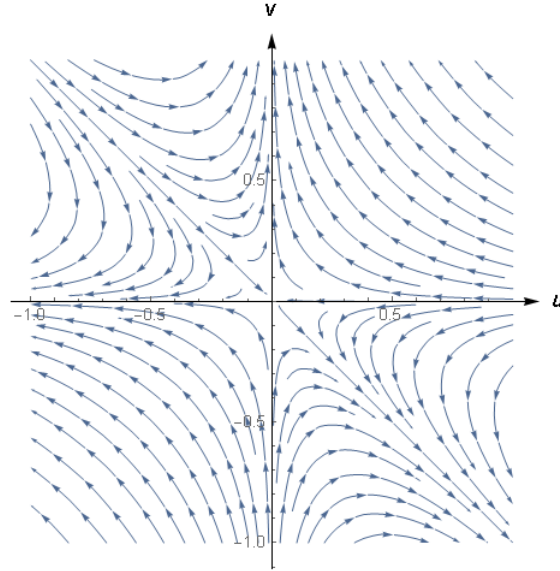


Figura 3.6: Campo F_γ para $\gamma(u) = (u^2, u^3)$.

que está representado na Figura 3.6. É fácil ver que temos 6 setores hiperbólicos e nenhum setor elíptico, de onde vem que o índice neste caso é -2 , como feito abaixo

$$\text{ind}_0(F_\gamma) = 1 + \frac{e - h}{2} = 1 + \frac{0 - 6}{2} = -2.$$

A cúspide c_2 é localmente dada por $\gamma(u) = (u^2, u^4 + u^5)$, com isso o campo F_γ tem a seguinte expressão

$$F_\gamma(u, v) = (-u(3u^3 + 4uv(1 + v) + 2v^2(1 + v) + u^2(2 + 6v)), \\ v(2u^3 + 2uv(2 + 3v) + v^2(2 + 3v) + u^2(2 + 4v))),$$

e está ilustrado na Figura 3.7. Neste caso o campo F_γ tem 4 setores hiperbólicos e nenhum elíptico. Logo, aplicando a fórmula de Bendixson,

$$\text{ind}_0(F_\gamma) = 1 + \frac{e - h}{2} = 1 + \frac{0 - 4}{2} = -1.$$

Portanto o índice é -1 . O que termina a demonstração. ■

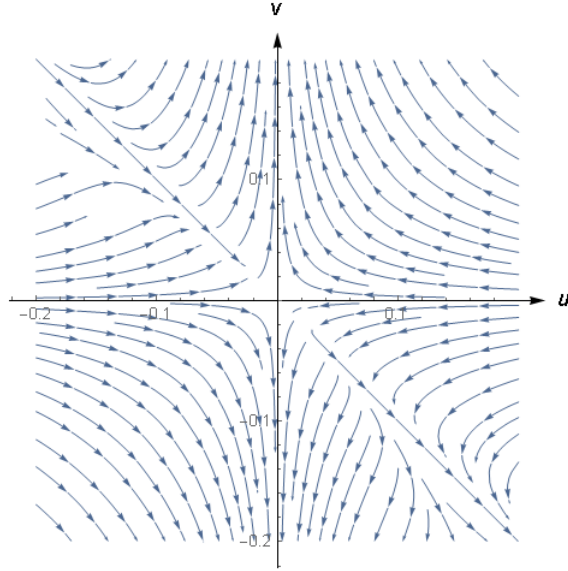


Figura 3.7: Campo F_γ para $\gamma(u) = (u^2, u^4 + u^5)$.

Com as Proposições 3.10 e 3.11 demonstradas, podemos relacionar o índice de F_γ com os objetos geométricos estudados como segue

$$\begin{aligned}
 \text{ind}(F_\gamma) &= \sum_{\{p: F_\gamma(p)=0\}} \text{ind}_p(F_\gamma) \\
 &= \sum_{\{\text{p.d.}\}} \text{ind}_p(F_\gamma) + \sum_{\{\text{b.l.o.}\}} \text{ind}_p(F_\gamma) + \sum_{\{\text{b.m.l.}\}} \text{ind}_p(F_\gamma) + \sum_{\{\text{p.i.}\}} \text{ind}_p(F_\gamma) \\
 &\quad + \sum_{\{c_1\}} \text{ind}_p(F_\gamma) + \sum_{\{c_2\}} \text{ind}_p(F_\gamma) \\
 &= 2(d(-1) + t_o(-1) + t_s(1)) + i(-1) + c_1(-2) + c_2(-1) \\
 &= 2(-d - t_o + t_s - c_1) - i - c_2.
 \end{aligned}$$

As abreviações utilizadas são: p.d, ponto duplo; b.l.o., bi-tangência de lados opostos; b.m.l., bi-tangência de mesmo lado; p.i., ponto de inflexão; c_1 , cúspide do primeiro tipo e c_2 cúspide do segundo tipo. Com isto, concluímos o seguinte resultado.

Proposição 3.12. *Considere $\gamma \in \mathcal{G}(I, \mathbb{R}^2)$. Então*

$$\text{ind}(F_\gamma) = 2(-d - t_o + t_s - c_1) - i - c_2. \quad (3.7)$$

3.3 O índice de F_γ para $\gamma(u) = (a_k b^k, b_m u^m)$

O objetivo desta seção é calcular o índice de F_γ para uma curva γ particular dada por

$$\gamma(u) = (a_k u^k, b_m u^m) \quad (3.8)$$

com $0 < k < m$ e $a_k b_m \neq 0$.

Faremos este estudo de acordo com a paridade dos graus k e m como segue:

$$(k, m) = \begin{cases} (\text{par}, \text{par}); \\ (\text{par}, \text{ímpar}); \\ (\text{ímpar}, \text{par}); \\ (\text{ímpar}, \text{ímpar}). \end{cases}$$

Dada um curva γ como em (3.8), o campo F_γ tem a seguinte expressão

$$F_\gamma(u, v) = \frac{a_k b_m}{(u-v)^2} \left((k-m)u^{k+m-1} + mu^{m-1}v^k - ku^{k-1}v^m, \right. \\ \left. -(m-k)v^{k+m-1} - mv^{m-1}u^k + kv^{k-1}u^m \right). \quad (3.9)$$

Uma outra escrita deste campo F_γ é dada por

$$F_\gamma(u, v) = a_k b_m \left(\sum_{j=1}^k j(k-m)u^{m+k-(j+2)}v^{j-1} + \sum_{j=k+1}^{m-1} k(j-m)u^{m+k-(j+2)}v^{j-1}, \right. \\ \left. - \sum_{j=1}^k j(k-m)v^{m+k-(j+2)}u^{j-1} - \sum_{j=k+1}^{m-1} k(j-m)v^{m+k-(j+2)}u^{j-1} \right). \quad (3.10)$$

Observação 3.13. No caso $(k, m) = (\text{par}, \text{par})$, o campo F_γ é nulo sobre a reta $u = -v$. Afim de eliminarmos esses zeros, consideraremos um novo campo para esse caso em específico, a saber $F_\gamma/(u+v)^2$. Por simplicidade, este no campo de vetores será denotado também por F_γ .

Proposição 3.14. *Considere γ como em (3.8) e F_γ como em (3.9). Então F_γ tem a origem como zero isolado.*

Demonstração. Consideremos $F_\gamma(u, v) = (f_1(u, v), f_2(u, v))$. Então, para γ como em (3.8), temos

$$f_1(u, v) = a_k b_m \left(\frac{(k-m)u^{k+m-1} + mu^{m-1}v^k - ku^{k-1}v^m}{(u-v)^2} \right)$$

e,

$$f_2(u, v) = a_k b_m \left(\frac{(m-k)v^{k+m-1} - mv^{m-1}u^k + kv^{k-1}u^m}{(u-v)^2} \right).$$

Assim, é fácil ver que $(0, 0)$ é um zero de F_γ .

Vamos procurar agora zeros de F_γ diferentes da origem. Como os numeradores de f_1 e de f_2 são polinômios homogêneos, vale que: se (u, v) é um zero de F_γ , então (tu, tv) , $t \in \mathbb{R}$, também é um zero de F_γ .

Suponha $(u, v) \neq (0, 0)$ com $F_\gamma(u, v) = (0, 0)$ e defina $x = v/u$. Então,

$$\begin{aligned} f_1(u, v) = 0 &\Leftrightarrow \left(\frac{(k-m)u^{k+m-1} + mu^{m-1}v^k - ku^{k-1}v^m}{(u-v)^2} \right) = 0 \\ &\Leftrightarrow u^{k+m-1} \left(\frac{(k-m) + mu^{m-1}(\frac{v}{u})^k - ku^{k-1}(\frac{v}{u})^m}{(u-v)^2} \right) = 0 \\ &\Leftrightarrow \left(\frac{(k-m) + m(x)^k - k(x)^m}{(1-x)^2} \right) = 0. \end{aligned}$$

Do mesmo modo,

$$\begin{aligned} f_2(u, v) = 0 &\Leftrightarrow \left(\frac{(m-k)v^{k+m-1} - mv^{m-1}u^k + kv^{k-1}u^m}{(u-v)^2} \right) = 0 \\ &\Leftrightarrow u^{k+m-1} \left(\frac{(m-k)(\frac{v}{u})^{k+m-1} - m(\frac{v}{u})^{m-1} + k(\frac{v}{u})^{k-1}}{(u-v)^2} \right) = 0 \\ &\Leftrightarrow x^{-k+1} \left(\frac{(m-k)(x)^{k+m-1} - m(x)^{m-1} + k(x)^{k-1}}{(1-x)^2} \right) = 0. \end{aligned}$$

Com isso, $F_\gamma(u, v) = (0, 0)$ é equivalente ao sistema

$$\begin{cases} \frac{-kx^m + mx^k + (k - m)}{(1 - x)^2} = 0, \\ \frac{(m - k)x^m - mx^{m-k} + k}{(1 - x)^2} = 0. \end{cases} \quad (3.11)$$

Defina p_1 como sendo o polinômio no numerador da primeira equação do sistema em (3.11), isto é,

$$p_1(x) = -kx^m + mx^k + (k - m).$$

Fazendo uso da regra dos sinais de Descartes, temos que p_1 possui no máximo duas raízes positivas (contando as multiplicidades). Como ocorre,

$$p_1(1) = -k + m + (k - m) = 0 \quad \text{e} \quad p_1'(1) = -km + mk = 0,$$

obtemos que 1 é raiz de multiplicidade 2 de p_1 . Todavia, o termo $(1 - x)^2$ aparece no denominador de f_1 . Segue que o sistema em (3.11) não possui raízes positivas.

Agora vamos verificar se o sistema em (3.11) possui raízes negativas. Para tal, vamos fazer a substituição $x \rightarrow -x$, obtendo

$$\begin{cases} g_1(x) = \frac{-k(-x)^m + m(-x)^k + (k - m)}{(1 + x)^2} = 0, \\ g_2(x) = \frac{(m - k)(-x)^m - m(-x)^{m-k} + k}{(1 + x)^2} = 0. \end{cases} \quad (3.12)$$

Defina p_1 como sendo o polinômio no numerador de g_1 e p_2 o polinômio do numerador de g_2 . Dividiremos esse estudo, para raízes negativas, em quatro casos, de acordo as paridades de k e m .

Caso 1: $(k, m) = (\text{ímpar}, \text{par})$.

Aqui, $p_1(x) = -kx^m - mx^k + (k - m)$ é um polinômio com todos os coeficientes negativos. Pela regra dos sinais de Descartes, concluímos que o sistema em (3.12) não possui raízes.

Caso 2: $(k, m) = (\text{par}, \text{par})$.

Agora, $p_1(x) = -kx^m + mx^k + (k - m)$ tem duas permutações de sinal em seus coeficientes. Portanto, tem no máximo duas raízes positivas, e como vale

$$p_1(1) = -k + m + (k - m) = 0 \quad \text{e} \quad p_1'(1) = -km + mk = 0,$$

obtemos que 1 é raiz de multiplicidade 2 de p_1 . Note que 1 também é uma raiz de multiplicidade 2 de p_2 . Isto quer dizer que o termo $(u + v)^2$ aparece nos numeradores de f_1 e f_2 . Mas lembrando da Observação 3.13, vemos que o sistema em (3.12) não possui raízes. Pois, neste caso, temos mais um termo nos denominadores de g_1 e g_2 , que é $(1 - x)^2$.

Caso 3: $(k, m) = (\text{par}, \text{ímpar})$.

Nesse caso $p_1(x) = kx^m + mx^k + (k - m)$ tem no máximo uma raiz $x_0 > 0$. Como

$$p_1(0) = (k - m) < 0 \quad \text{e} \quad p_1(1) = k + m + (k - m) = 2k > 0,$$

segue que $x_0 \in (0, 1)$.

Vamos verificar que esse valor x_0 não é raiz de

$$p_2(x) = -(m - k)x^m + m(x)^{m-k} + k.$$

É fácil ver que $p_2(0) = k > 0$, e também que

$$p_2'(x) = -(m - k)mx^{m-1} + m(m - k)x^{m-k-1} = (-m(m - k)x^k + m(m - k))x^{m-k-1} > 0$$

para $0 < x < 1$. Isto quer dizer que p_2 é positiva e crescente no intervalo estudado, portanto não tem uma raiz $x_0 \in (0, 1)$. Logo, neste caso, o sistema em (3.12) não possui raízes.

Caso 4: $(k, m) = (\text{ímpar}, \text{ímpar})$.

Aqui, $p_2(x) = -(m - k)x^m - mx^{m-k} + k$ tem no máximo uma raiz $x_0 > 0$. Como

$$p_2(0) = k > 0 \quad \text{e} \quad p_2(1) = -(m - k) - m + k = -2(m - k) < 0,$$

segue que $x_0 \in (0, 1)$. Entretanto, $p_1(0) = (k - m) < 0$ e

$$p_1'(x) = kmx^{m-1} - mkx^{k-1} = (kmx^{m-k} - km)x^{k-1} < 0,$$

para $0 < x < 1$. Portanto o sistema em (3.12) não possui raízes.

E a proposição está provada. \blacksquare

Considere $H_1 : \mathbb{R}^2 \rightarrow \mathbb{R}^2$, $H_1(u, v) = (v, u)$ e $H_2 : \mathbb{R}^2 \rightarrow \mathbb{R}^2$, $H_2(u, v) = (-v, -u)$, que são, respectivamente, as reflexões em torno das retas dadas pelas equações $u = v$ e $u = -v$. Essas duas aplicações nos mostrarão simetrias que o campo F_γ em (3.9) satisfaz. Utilizando-se destas simetrias, temos um melhor entendimento do esboço do retrato de fases do campo F_γ .

Lema 3.15. *Considere $H_1 : \mathbb{R}^2 \rightarrow \mathbb{R}^2$, $H_1(u, v) = (v, u)$, $H_2 : \mathbb{R}^2 \rightarrow \mathbb{R}^2$, $H_2(u, v) = (-v, -u)$ e F_γ como em (3.9). Então:*

- (i) $H_1(F_\gamma(u, v)) = -F_\gamma(H_1(u, v))$;
- (ii) se k e m tem paridades opostas, então $H_2(F_\gamma(u, v)) = F_\gamma(H_2(u, v))$;
- (iii) se k e m tem as mesmas paridades, então $H_2(F_\gamma(u, v)) = -F_\gamma(H_2(u, v))$.

Demonstração. Consideremos $F_\gamma(u, v) = (f_1(u, v), f_2(u, v))$. Assim,

$$\begin{aligned} f_1(u, v) &= a_k b_m \left(\frac{(k-m)u^{k+m-1} + mu^{m-1}v^k - ku^{k-1}v^m}{(u-v)^2} \right), \\ f_2(u, v) &= a_k b_m \left(\frac{(m-k)v^{k+m-1} - mv^{m-1}u^k + kv^{k-1}u^m}{(u-v)^2} \right). \end{aligned} \tag{3.13}$$

O item (i) é provado abaixo.

$$\begin{aligned} -F_\gamma(H_1(u, v)) &= -F_\gamma(v, u) \\ &= -(f_1(v, u), f_2(v, u)) \\ &= -(-f_2(u, v), -f_1(u, v)) \\ &= (f_2(u, v), f_1(u, v)) \\ &= H_1(F_\gamma(u, v)); \end{aligned}$$

Agora fazemos uso das paridades de k e m , obtendo os itens (ii) e (iii) como segue.

$$\begin{aligned} \text{(ii)} \quad F_\gamma(H_2(u, v)) &= F_\gamma(H_1(-u, -v)) & \text{(iii)} \quad -F_\gamma(H_2(u, v)) &= -F_\gamma(H_1(-u, -v)) \\ &= -H_1(F_\gamma(-u, -v)) & &= H_1(F_\gamma(-u, -v)) \\ &= -H_1(F_\gamma(u, v)) & &= -H_1(F_\gamma(u, v)) \\ &= H_2(F_\gamma(u, v)). & &= H_2(F_\gamma(u, v)). \quad \blacksquare \end{aligned}$$

Teorema 3.16. *Considere $\gamma(u)$ como em (3.8) e F_γ como em (3.9). Então o índice de F_γ , $\text{ind}(F_\gamma)$, é*

- -1 , se k e m tem a mesma paridade;
- -2 , se k é par e m é ímpar;
- 0 , se k é ímpar e m é par.

Demonstração. Para calcular o índice do campo F_γ em (3.9) usaremos a fórmula de Bendixson. Como o sinal do termo $a_k b_m$ não altera a quantidade desses setores, vamos supor $a_k b_m > 0$.

Considere $F_\gamma(u, v) = (f_1(u, v), f_2(u, v))$. Como $k < m$, a expressão em (3.10) nos dá que f_1 é sempre negativa no primeiro quadrante do plano uv e f_2 é sempre positiva neste mesmo quadrante, isto nos dá um setor hiperbólico no primeiro quadrante. Usando os itens (ii) e (iii) do Lema 3.15, obtemos outro setor hiperbólico no terceiro quadrante.

Para analisar os setores no segundo e quarto quadrante vamos estudar os sinais de f_1 e f_2 na região

$$B = \{(u, v) \in \mathbb{R}^2 : 0 < -u < v\}$$

e usar o Lema 3.15. A Figura 3.8 ilustra o que temos até o presente momento.

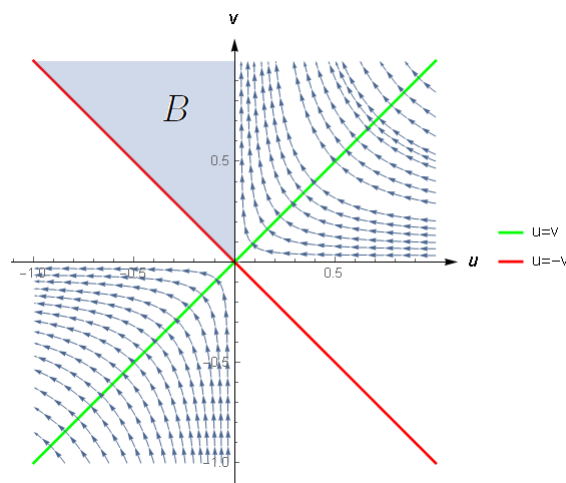


Figura 3.8: Setores no primeiro e terceiro quadrantes de F_γ e a região B .

Caso 1: $(k, m) = (\text{ímpar}, \text{par})$.

Aqui temos,

$$f_1(u, v)(u - v)^2 = \overbrace{(k - m)u^{k+m-1}}^{<0} + \overbrace{mu^{m-1}v^k}^{<0} - \overbrace{ku^{k-1}v^m}^{>0} < 0$$

$$f_2(u, v)(u - v)^2 = \overbrace{(m - k)v^{k+m-1}}^{>0} - \overbrace{mv^{m-1}u^k}^{<0} + \overbrace{kv^{k-1}u^m}^{>0} > 0,$$

para pares $(u, v) \in B$.

Para pares (u, v) que satisfazem $0 < v < -u$, usamos o item (ii) do Lema 3.15. Obtendo assim, $f_1 < 0$ e $f_2 > 0$ para esses pares. Isto nos dá um setor parabólico no segundo quadrante do plano uv . Já para pontos no quarto quadrante, usamos o item (i) do Lema 3.15. De onde concluímos que temos um setor parabólico nesse quadrante. Todavia, setores parabólicos não contribuem com o índice.

Com este estudo dos sinais de f_1 e f_2 , podemos esboçar o retrato de fases do campo F_γ como na Figura 3.9.

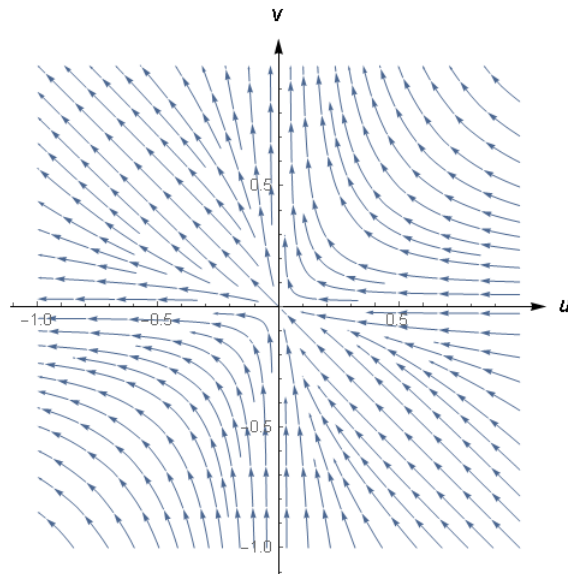


Figura 3.9: Caso 1: k é ímpar e m é par.

Portanto,

$$\text{ind}_0(F_\gamma) = 1 + \frac{e - h}{2} = 1 + \frac{0 - 2}{2} = 0,$$

e o índice neste caso é 0.

Caso 2: $(k, m) = (\text{par}, \text{par})$.

Basta estudar os sinais de f_1 e f_2 na seção

$$\Sigma = \{(u, 1) : (u, 1) \subset B\} = \{(u, 1) : 0 < -u < 1\},$$

pois, para $v_0 > 0$, esses sinais serão os mesmos em

$$\Sigma_{v_0} = \{(u, v_0) : (u, v_0) \subset B\} = \{(u, 1) : 0 < -u < v_0\}$$

e a união dos conjuntos Σ_{v_0} para todos os $v_0 > 0$ é a região B .

Para ver, que de fato, esses sinais são os mesmos defina:

$$g_1(u, v) = (k - m)u^{k+m-1} + mu^{m-1}v^k - ku^{k-1}v^m,$$

$$g_2(u, v) = (m - k)v^{k+m-1} - mv^{m-1}u^k + kv^{k-1}u^m.$$

Então,

$$\begin{aligned} g_1(u, v_0) &= (k - m)u^{k+m-1} + mu^{m-1}v_0^k - ku^{k-1}v_0^m \\ &= v_0^{k+m-1} \left((k - m) \left(\frac{u}{v_0} \right)^{k+m-1} + m \left(\frac{u}{v_0} \right)^{m-1} - k \left(\frac{u}{v_0} \right)^{k-1} \right) \\ &= v_0^{k+m-1} \left((k - m)(y)^{k+m-1} + m(y)^{m-1} - k(y)^{k-1} \right) \\ &= v_0^{k+m-1} g_1(y, 1), \end{aligned}$$

com $y = \frac{u}{v_0}$ satisfazendo $0 < -y < 1$, pois $0 < -u < v_0$ e $v_0 > 0$.

Visto que $v_0^{k+m-1} > 0$ e $((u + v)(u - v))^2 > 0$, concluímos que basta estudar o sinal de f_1 sobre pontos de Σ . De modo similar, basta estudar o sinal de f_2 sobre pontos de Σ .

Defina agora, para $0 < -u < 1$,

$$p_1(u) = (k - m)u^m + mu^{m-k} - k \quad \text{e} \quad p_2(u) = ku^m - mu^k + (m - k).$$

Note que, para pontos $u \in (-1, 0)$, $p_1(u) = 0$ ($p_2(u) = 0$) é equivalente à $g_1(u, 1) = 0$ ($g_2(u, 1) = 0$).

Pela regra dos sinais de Descartes, temos no máximo duas raízes negativas para p_1 e p_2 . Como $u = -1$ é raiz de multiplicidade 2, em ambos polinômios, e não pertence ao domínio estudado, obtemos que p_1 e p_2 não possuem zeros no intervalo $(-1, 0)$. Além disso, por continuidade, esse sinal é o mesmo que para $u = 0$ ($p_1(0) = -k < 0$ e $p_2(0) = (m - k) > 0$).

Portanto, f_1 e f_2 não tem o seu sinal alterado para pares $(u, v) \in \Sigma$. Especificamente,

$$f_1(u, 1)((u + 1)(u - 1))^2 = u^{k-1}(p_1(u)) > 0,$$

$$f_2(u, 1)((u + 1)(u - 1))^2 = p_2(u) > 0.$$

Fazendo uso do Lema 3.15, temos setores hiperbólicos no segundo e quarto quadrante (Ver Figura 3.10). Nesse caso,

$$\text{ind}_0(F_\gamma) = 1 + \frac{e - h}{2} = 1 + \frac{0 - 4}{2} = -1.$$

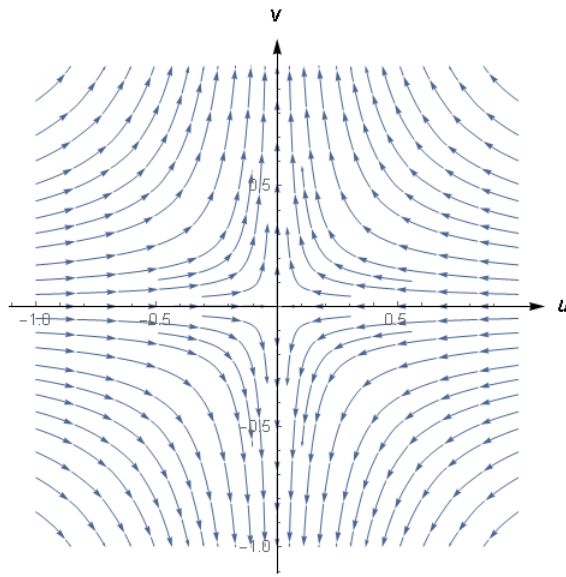


Figura 3.10: Caso 2: k e m são ambos pares.

Caso 3: $(k, m) = (\text{ímpar}, \text{ímpar})$.

Novamente, basta estudar os sinais de f_1 e f_2 para pares (u, v) em

$$\Sigma = \{(u, 1) : (u, 1) \in B\} = \{(u, 1) : 0 < -u < 1\}.$$

Veja que, se considerarmos o polinômio

$$p_1(u) = (k - m)u^m + mu^{m-k} - k,$$

a regra dos sinais de Descartes diz que temos no máximo uma raiz negativa. Ainda, como esse polinômio é negativo para $u = 0$ ($p_1(0) = -k < 0$) e positivo para $u = -1$

($p_1(-1) = -(k - m) + m - k = 2(m - k) > 0$), sabemos que há, de fato, uma raiz u_0 , que está entre -1 e 0 . Assim, f_1 muda de sinal em Σ .

Já se olharmos para

$$p_2(u) = ku^m - mu^k + (m - k),$$

vemos que este é positivo para $u = -1$ e para $u = 0$ ($p_2(-1) = -k + m + (m - k) = 2(m - k) > 0$, $p_2(0) = (m - k) > 0$). E a derivada de p_2 ,

$$p_2'(u) = kmu^{m-1} - mku^{k-1} = kmu^{k-1}(u^{m-k} - 1),$$

é negativa para $u \in (-1, 0)$, logo p_2 é decrescente, mas positiva para $u \in (-1, 0)$. Portanto, f_2 é negativa para pares $(u, v) \in \Sigma$.

Pelo Lema 3.15, temos em cada um dos segundo e quarto quadrantes do plano uv um setor hiperbólico e dois parabólicos (Ver Figura 3.11). Com isso,

$$\text{ind}_0(F_\gamma) = 1 + \frac{e - h}{2} = 1 + \frac{0 - 4}{2} = -1.$$

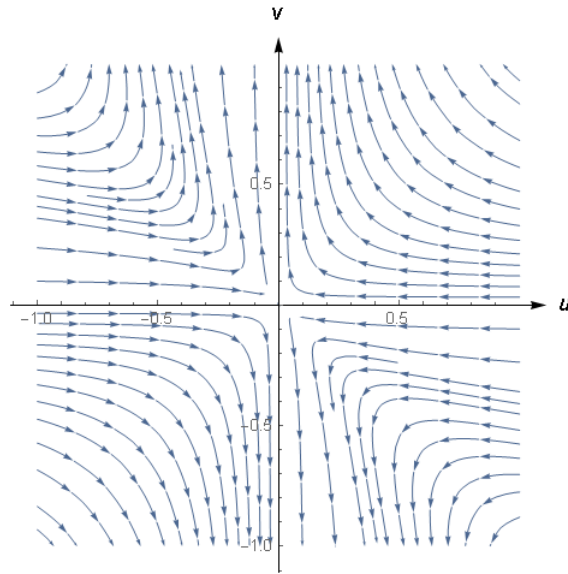


Figura 3.11: Caso 3: k e m são ambos ímpares.

Caso 4: $(k, m) = (\text{par}, \text{ímpar})$.

Como em casos anteriores, vamos analisar os sinais de f_1 e f_2 na seção

$$\Sigma = \{(u, 1) : (u, 1) \subset B\} = \{(u, 1) : 0 < -u < 1\}.$$

Para pares $(u, v) \in \Sigma$, temos que f_1 é positiva, como indica o cálculo que segue:

$$\begin{aligned} f_1(u, v)(u - v)^2 &= (k - m)u^{k+m-1} + mu^{m-1} - ku^{k-1} \\ &= \overbrace{ku^{k-1}(u^m - 1)}^{>0} - \overbrace{mu^{m-1}(u^k - 1)}^{<0} > 0. \end{aligned}$$

Considerando

$$p_2(u) = ku^m - mu^k + (m - k)$$

e aplicando a regra dos sinais de Descartes, temos que p_2 tem no máximo uma raiz negativa.

Visto que,

$$p_2(-1) = -k - m + (m - k) = -2k < 0 \quad \text{e} \quad p_2(0) = (m - k) > 0,$$

podemos afirmar que para algum $u_0 \in (-1, 0)$, temos $p_2(u_0) = 0$.

Portanto, f_2 muda de sinal sobre Σ . Isso dá a existência de um setor hiperbólico em B . Agora, pelo Lema 3.15, segue que o segundo e o quarto quadrantes do plano uv possuem juntos 4 setores hiperbólicos (Ver Figura 3.12).

Calculando o índice, obtemos

$$\text{ind}_0(F_\gamma) = 1 + \frac{e - h}{2} = 1 + \frac{0 - 6}{2} = -2.$$

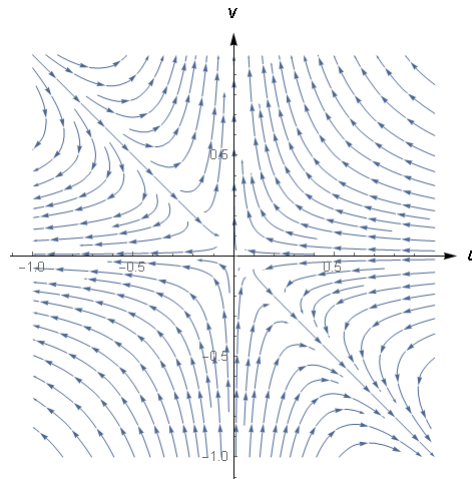


Figura 3.12: Caso 4: k é par e m é ímpar.

Tendo o índice do campo F_γ sido calculado em todos os casos dados pelas paridades de k e m , este teorema está concluído. ■

3.4 Uma fórmula análoga à de Fabricius-Bjerre

Na seção final deste capítulo queremos obter uma equação similar a fórmula de Fabricius-Bjerre, para curvas $\bar{\gamma} : I \rightarrow \mathbb{R}^2$ que sejam deformações genéricas de γ como em (3.8). Para tal, iremos relacionar o Teorema 3.16 e a Proposição 3.12.

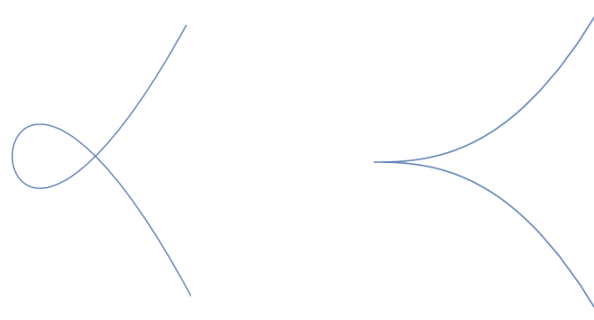
Definição 3.17. *Diremos que $\bar{\gamma} \in \mathcal{G}(I, \mathbb{R}^2)$ é uma deformação genérica de γ como em (3.8) se:*

(i) *Existe uma homotopia $H : I \times [0, 1] \rightarrow \mathbb{R}^2$ entre as curvas γ e $\bar{\gamma}$ com $H_0 = H(u, 0) = \gamma(u)$ e $H_1 = H(u, 1) = \bar{\gamma}(u), \forall u \in I$, que satisfaça (ii) abaixo:*

(ii) *Existe um compacto $K \subset \mathbb{R}^2$ contendo todos os zeros dos campos F_{H_s} , isto é, $\{(u, v) : F_{H_s}(u, v) = (0, 0), s \in [0, 1]\} \subset K$.*

A seguir temos dois exemplos de curvas $\bar{\gamma}$ que são deformações genéricas de γ como em (3.8).

Exemplo 3.18. *Vamos verificar que $\alpha(u) = (u^2, u^3 - u)$ é uma deformação genérica de $\gamma(u) = (u^2, u^3)$. Ambas curvas estão ilustradas na Figura 3.13*



(a) Curva $(u^2, u^3 - u)$.

(b) Curva (u^2, u^3) .

Figura 3.13: Uma deformação genérica de (u^2, u^3) .

Considere a homotopia $H : I \times [0, 1] \rightarrow \mathbb{R}^2$ dada por

$$H(u, s) = (1 - s)\gamma(u) + s\alpha(u).$$

Temos, após alguns cálculos, que o campo F_{H_s} tem a seguinte expressão

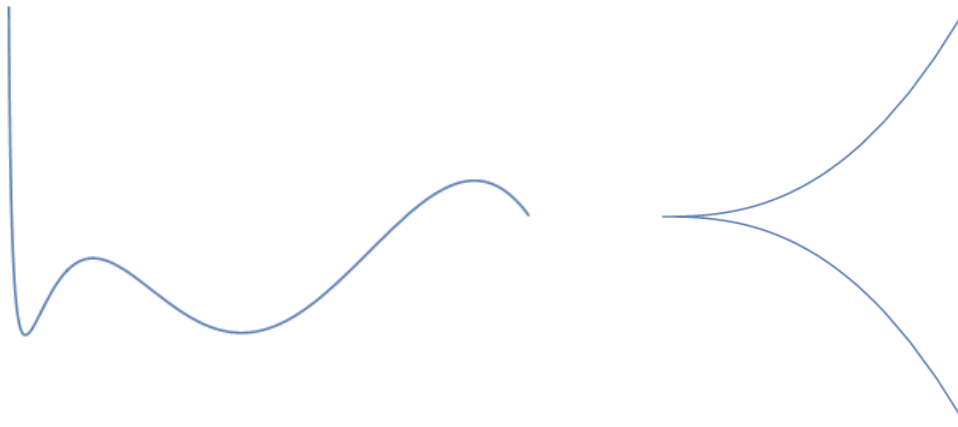
$$F_{H_s}(u, v) = (-s - u(u + 2v), s + v(2u + v))$$

e seus zeros são dados por:

$$(u, v) = (-\sqrt{s}, \sqrt{s}) \text{ e } (u, v) = (\sqrt{s}, -\sqrt{s}).$$

Portanto, $B_2 = \{(u, v) : \|(u, v)\| \leq 2\}$ contém todos os zeros de F_{H_s} para $s \in [0, 1]$. Logo, $\bar{\gamma} = \alpha$ é uma deformação genérica de $\gamma(u) = (u^2, u^3)$.

Exemplo 3.19. Vamos verificar que $\alpha(u) = (u^2 - 4u, u^5 + u^4 - 4u^3 - 2u^2 + 3u)$ é uma deformação genérica de $\gamma(u) = (u^2, u^5)$, essas curvas duas curvas estão ilustradas na Figura 3.14.



(a) Curva $(u^2 - 4u, u^5 + u^4 - 4u^3 - 2u^2 + 3u)$.

(b) Curva (u^2, u^5) .

Figura 3.14: Uma deformação genérica de (u^2, u^5) .

Para tal, considere $H : I \times [0, 1] \rightarrow \mathbb{R}^2$ dada por

$$H(u, s) = (1 - s)\gamma(u) + s\alpha(u).$$

Construindo o campo $F_{H_s} = (f_{s_1}, f_{s_2})$, obtemos

$$\begin{aligned} f_{s_1}(u, v) &= 4s^2(-2 + 3u^2 + 2u(-4 + v) - 4v + v^2) - u(3u^3 + 6u^2v + 4uv^2 + 2v^3) + \\ &\quad s(3 + 14u^3 + 4v^3 + 2uv(4 + 3v) + u^2(4 + 8v)) \\ f_{s_2}(u, v) &= -4s^2(-2 + u^2 + 2u(-2 + v) - 8v + 3v^2) + v(2u^3 + 4u^2v + 6uv^2 + 3v^3) - \\ &\quad s(3 + 4u^3 + 6u^2v + 4v^2 + 14v^3 + 8uv(1 + v)) \end{aligned}$$

e analisando seus zeros, para $0 \leq s \leq 1$, temos que o par (u, v) com maior norma tal que $F_{H_s}(u, v) = (0, 0)$ é o par $(2.56279, 2.56279)$ e ocorre para $s = 1$. Portanto, o conjunto $B_4 = \{(u, v) : \|(u, v)\| \leq 4\}$ contém todos os pares (u, v) tais que $F_{H_s}(u, v) = (0, 0)$. A Figura 3.15 ilustra esse fato, nela os pontos no interior de B_4 são os zeros de F_{H_s} para $s_j = j/20$ com $0 \leq j \leq 20$.

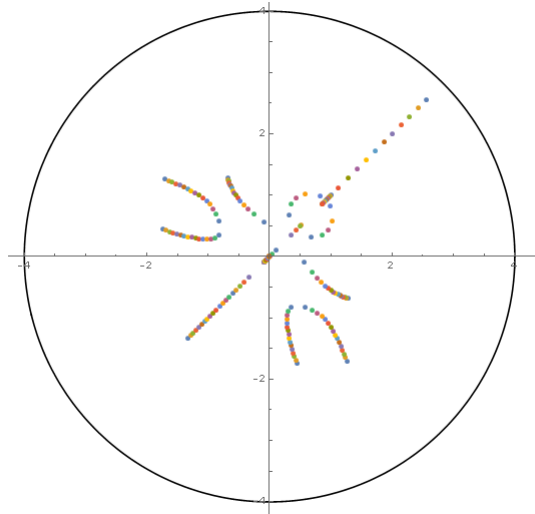


Figura 3.15: Os zeros se mantêm no compacto B_4 .

Com isto, obtemos que $\bar{\gamma} = \alpha$ é uma deformação genérica de γ , o que finaliza esse exemplo.

O próximo exemplo nos dá um caso particular em que o item (ii) da Definição 3.17 não ocorre.

Exemplo 3.20. Considere a homotopia H , entre as curvas $\alpha(u) = (u, u^3)$ e $\gamma(u) = (u^2, u^3)$, dada por

$$H(s, u) = ((1 - s)u + su^2, u^3).$$

Os pontos de inflexões u de cada curva H_s são calculados por

$$0 = \det(H'_s(u), H''_s(u)) = 6u(1 - s + su).$$

Portanto são: $u = 0$ e $u = (s - 1)/s$. Logo, não existe nenhum compacto $K \subset \mathbb{R}^2$ contendo os pares $((s - 1)/s, (s - 1)/s)$, que são um zeros de F_{H_s} , quando $s \rightarrow 0$. Assim, o segundo item da Definição 3.17 não ocorre.

Visando obter uma relação entre os índices $\text{ind}(F_\gamma)$ e $\text{ind}(F_{\bar{\gamma}})$, vamos enunciar uma proposição que nos dá uma circunstância para a qual o índice de dois campos homotópicos é o mesmo.

Proposição 3.21. *Sejam M e N duas variedades orientadas de dimensão n sem fronteira. Assuma que os campos $X, Y : M \rightarrow N$ são homotópicos. Então, $\text{ind}(X) = \text{ind}(Y)$.*

Uma demonstração para a Proposição 3.21 pode ser encontrada em [15].

O seguinte lema prova que o índice de F_γ é igual ao índice de $F_{\bar{\gamma}}$. Nele usamos a compactificação de Bendixson, identificando o plano \mathbb{R}^2 com a esfera \mathbb{S}^2 sem o polo norte $p = (0, 0, 1)$. Para mais detalhes veja [10]. Denotaremos a compactificação de Bendixson do campo vetorial X por $s(X)$. Assim, $s(X)$ é o campo induzido na esfera por X . Observe que, o comportamento das órbitas de X perto do infinito é determinado pelo comportamento de $s(X)$ perto de p . O ponto p é chamado de ponto crítico no infinito de $s(X)$. Os pontos críticos de $s(X)$ que estão em $\mathbb{S}^2 - \{p\}$ são chamados de pontos críticos finitos de X ou $s(X)$. Como o índice de $s(X)$, $\text{ind}(s(X))$, é a soma dos índices $s(X)$ em seus pontos críticos, temos

$$\text{ind}(s(X)) = \text{ind}(X) + \text{ind}_p(s(X)). \quad (3.14)$$

Lema 3.22. *Considere γ como em (3.8) e $\bar{\gamma}$ uma deformação genérica de γ . Então*

$$\text{ind}(F_\gamma) = \text{ind}(F_{\bar{\gamma}}). \quad (3.15)$$

Demonstração. Consideremos γ como em (3.8) e $\bar{\gamma}$ uma deformação genérica de γ . É fácil notar que a homotopia entre as curvas γ e $\bar{\gamma}$ induz uma homotopia entre os campos F_γ e $F_{\bar{\gamma}}$.

Considere $s(F_\gamma) : \mathbb{S}^2 \rightarrow \mathbb{R}^2$ e $s(F_{\bar{\gamma}}) : \mathbb{S}^2 \rightarrow \mathbb{R}^2$ a compactificação de Bendixson dos campos F_γ e $F_{\bar{\gamma}}$, respectivamente. Pela Proposição 3.21, temos

$$\text{ind}(s(F_\gamma)) = \text{ind}(s(F_{\bar{\gamma}})). \quad (3.16)$$

Usando (3.16) e (3.14), obtemos

$$\text{ind}(s(F_\gamma)) + \text{ind}_p(s(F_\gamma)) = \text{ind}(s(F_{\bar{\gamma}})) + \text{ind}_p(s(F_{\bar{\gamma}})). \quad (3.17)$$

Para obter a igualdade em (3.15), falta ver que pontos críticos no infinito não ocorrem. Mas isso segue do item (ii) da Definição 3.17. Portanto $\text{ind}_p(s(F_\gamma)) = \text{ind}_p(s(F_{\bar{\gamma}})) = 0$ em (3.17), o que conclui a demonstração deste Lema. ■

O Lema 3.22 nos permite relacionar o resultado do Teorema 3.16 juntamente com o resultado da Proposição 3.12, obtendo os três casos que seguem.

Caso 1: k e m tem a mesma paridade.

$$-1 = 2(-d - t_o + t_s - c_1) - i - c_2 \Leftrightarrow t_s - t_o = d + c_1 + \frac{i - 1 + c_2}{2}.$$

Caso 2: k é par e m é ímpar.

$$-2 = 2(-d - t_o + t_s - c_1) - i - c_2 \Leftrightarrow t_s - t_o = d + c_1 + \frac{i + c_2}{2} - 1.$$

Caso 3: k é ímpar e m é par.

$$0 = 2(-d - t_o + t_s - c_1) - i - c_2 \Leftrightarrow t_s - t_o = d + c_1 + \frac{i + c_2}{2}.$$

Feito isso, temos demonstrado o último teorema deste capítulo e principal resultado desta dissertação.

Teorema 3.23. *Seja $\gamma(u) = (a_k u^k, b_m u^m)$ uma curva plana com $0 < k < m$ e $a_k b_m \neq 0$. Para qualquer deformação genérica de γ vale:*

(i) *Se k e m tem a mesma paridade, então:*

$$t_s - t_o = d + c_1 + \frac{i - 1 + c_2}{2};$$

(ii) *Se k é par e m é ímpar, então:*

$$t_s - t_o = d + c_1 + \frac{i + c_2}{2} - 1;$$

(iii) *Se k é ímpar e m é par, então:*

$$t_s - t_o = d + c_1 + \frac{i + c_2}{2}.$$

Para finalizar o presente capítulo daremos um exemplo e três corolários diretos relacionados ao Teorema 3.23.

Exemplo 3.24. *Vamos aplicar o segundo caso exposto no Teorema 3.23 para a curva $\bar{\gamma}(u) = (u^2 - 4u, u^5 + u^4 - 4u^3 - 2u^2 + 3u)$, que é uma deformação genérica de $\gamma(u) = (u^2, u^5)$, com a intenção de obter a quantidade de pontos duplos de $\bar{\gamma}$.*

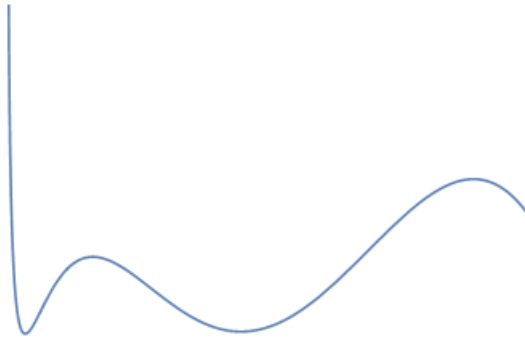


Figura 3.16: Curva $\bar{\gamma}(u) = (u^2 - 4u, u^5 + u^4 - 4u^3 - 2u^2 + 3u)$.

Lembrando que no Exemplo 3.5 obtemos $t_s = 2$, $t_0 = 1$ e $i = 4$ e $\bar{\gamma}'(u) = 0$ não ocorre, isto é, $c_1 = c_2 = 0$. Temos

$$d = 2 - 1 - \frac{4}{2} + 1 = 0,$$

assim, a curva $\bar{\gamma}$ não possui auto-interseções. O que condiz com o Exemplo 3.5, no qual não encontramos zeros do campo $F_{\bar{\gamma}}$ relacionados a pontos duplos nem cúspides.

Corolário 3.25. *Qualquer deformação genérica de $\gamma(u) = (u^2, u^3)$ possui: ou um ponto duplo, ou duas inflexões.*

Corolário 3.26. *Considere γ como em (3.8). Então, para qualquer deformação genérica $\bar{\gamma}$ de γ , que não tenha cúspides, é válida uma das duas seguintes afirmações:*

- (i) *Se k e m tem a mesma paridade, então $\bar{\gamma}$ tem um número ímpar de inflexões;*
- (ii) *Se k e m tem a paridades opostas, então $\bar{\gamma}$ tem um número par de inflexões.*

Corolário 3.27. *Considere γ como em (3.8). Então para qualquer deformação genérica $\bar{\gamma}$ de γ , que não tenha cúspides nem pontos duplos, vale:*

- (i) Se k e m tem a mesma paridade, então $i = 2(t_s - t_o) + 1$;*
- (ii) Se k é par e m é ímpar, então $i = 2(t_s - t_o + 1)$;*
- (iii) Se k é ímpar e m é par, então $i = 2(t_s - t_o)$.*

No próximo capítulo vamos tratar de uma fórmula algébrica para germes de curvas planas.

Capítulo 4

Uma Fórmula Algébrica

A principal referência deste capítulo é a parte final do artigo [8]. Todavia, as referências [13], [17] e [18] são de extrema importância para o conhecimento de alguns conceitos que assumiremos conhecidos, tais como: germes e o número de Milnor.

Neste capítulo usaremos o campo de vetores F_γ ,

$$F_\gamma(u, v) = \left(\frac{\det(\gamma'(u), \gamma(u) - \gamma(v))}{(u - v)^2}, \frac{\det(\gamma'(v), \gamma(u) - \gamma(v))}{(u - v)^2} \right),$$

para γ o germe da curva plana irredutível,

$$\gamma(u) = \left(\sum_{i=k}^l a_i u^i, \sum_{j=m}^n b_j u^j \right).$$

O objetivo aqui é obter uma fórmula relacionando as inflexões, bi-tangências e o número de Milnor de γ .

4.1 Definições iniciais

Considere

$$\gamma : (\mathbb{C}, 0) \rightarrow (\mathbb{C}^2, 0), \gamma(u) = ((\gamma_1(u)), \gamma_2(u)), \quad (4.1)$$

um germe de curva plana irredutível, complexo, de curva plana. Definimos o campo $F_\gamma : (\mathbb{C} \times \mathbb{C}, 0) \rightarrow (\mathbb{C}^2, 0)$ por

$$F_\gamma(u, v) = \left(\frac{\det(\gamma'(u), \gamma(u) - \gamma(v))}{(u - v)^2}, \frac{\det(\gamma'(v), \gamma(u) - \gamma(v))}{(u - v)^2} \right). \quad (4.2)$$

Definição 4.1. *Seja γ como definido em (4.1) e F_γ como em (4.2). Definimos os números*

$$\vartheta := \dim_{\mathbb{C}} \frac{\mathcal{O}_{\mathbb{C}^2,0}}{\langle F_\gamma(u,v) \rangle}, \quad \tilde{\vartheta} := \dim_{\mathbb{C}} \frac{\mathbb{C}[u,v]}{\langle F_\gamma(u,v) \rangle},$$

$$I := \dim_{\mathbb{C}} \frac{\mathcal{O}_{\mathbb{C},0}}{\langle \det((\gamma'(u), \gamma''(u))) \rangle}, \quad \tilde{I} := \dim_{\mathbb{C}} \frac{\mathbb{C}[u]}{\langle \det(\gamma'(u), \gamma''(u)) \rangle},$$

$$\delta := \frac{1}{2} \dim_{\mathbb{C}} \frac{\mathcal{O}_{\mathbb{C}^2,0}}{\langle \frac{\gamma_1(u)-\gamma_1(v)}{u-v}, \frac{\gamma_2(u)-\gamma_2(v)}{u-v} \rangle} \quad e \quad \tilde{\delta} := \frac{1}{2} \dim_{\mathbb{C}} \frac{\mathbb{C}[u,v]}{\langle \frac{\gamma_1(u)-\gamma_1(v)}{u-v}, \frac{\gamma_2(u)-\gamma_2(v)}{u-v} \rangle}.$$

Os números I e δ representam o número de inflexões e pontos duplos, respectivamente, de uma deformação de γ . Definindo T como o número de bi-tangências de uma deformação de γ , temos, pela Proposição 3.3 do Capítulo 3, que

$$\vartheta = 2T + 2\delta + I. \quad (4.3)$$

Similarmente, \tilde{I} e $\tilde{\delta}$ representam, respectivamente, as quantidades globais de inflexões e pontos duplos de uma deformação de γ . Tomando \tilde{T} como T mais o número de bi-tangências da curva antes da deformação e usando a Proposição 3.3 do Capítulo 3, temos

$$\tilde{\vartheta} = 2\tilde{T} + 2\tilde{\delta} + \tilde{I}. \quad (4.4)$$

As seguintes considerações se fazem úteis no cálculo dos números apresentados na Definição 4.1.

Suponha que tenhamos n polinômios homogêneos F_1, \dots, F_n de grau, respectivamente, d_1, \dots, d_n nas variáveis complexas x_0, \dots, x_n . Defina, para cada i tal que $1 \leq i \leq n$,

$$\begin{aligned} f_i(x_1, \dots, x_n) &= F_i(1, x_1, \dots, x_n), \\ \bar{F}_i(x_1, \dots, x_n) &= F_i(0, x_1, \dots, x_n). \end{aligned} \quad (4.5)$$

Em \mathbb{P}^n temos o espaço afim $\mathbb{C}^n \subset \mathbb{P}^n$ definido por $x_0 = 1$, e as soluções das equações afins

$$f_1(x_1, \dots, x_n) = \dots = f_n(x_1, \dots, x_n) = 0$$

são precisamente as soluções de $F_1 = 0, \dots, F_n = 0$ que estão em \mathbb{C}^n .

Já as soluções não nulas de

$$\overline{F}_1(x_1, \dots, x_n) = \dots = \overline{F}_n(x_1, \dots, x_n) = 0$$

são chamadas de soluções no infinito de $F_1 = 0, \dots, F_n = 0$.

Teorema 4.2. [Teorema de Bézout] *Assuma que os f_1, \dots, f_n definidas como em (4.5), não possuem fator em comum e que não ocorrem soluções no infinito, como descrito anteriormente. Então, temos $d_1 \cdots d_n$ soluções de $f_1 = 0, \dots, f_n = 0$ (contando as multiplicidades) e*

$$\dim_{\mathbb{C}} \frac{\mathbb{C}[x_1, \dots, x_n]}{\langle f_1, \dots, f_n \rangle} = d_1 \cdots d_n$$

como um espaço vetorial sobre \mathbb{C} .

Com o Teorema de Bézout temos um método para ajudar no cálculo dos números $\tilde{\vartheta}, \tilde{I}$ e $\tilde{\delta}$. Uma demonstração para esse teorema pode ser encontrada em [6].

Para definir a multiplicidade local de uma solução de um sistema de equações, usamos o anel local em vez do anel polinomial, mas a ideia é muito parecida. Considere $f : (\mathbb{C}^n, 0) \rightarrow (\mathbb{C}^n, 0)$ germe de aplicação holomorfa na origem. A multiplicidade do germe f na origem é dada por

$$\mu_0[f] = \dim_{\mathbb{C}} \frac{\mathcal{O}_{\mathbb{C}^n, 0}}{\langle f \rangle},$$

onde $\mathcal{O}_{\mathbb{C}^n, 0}$ é o anel de germes em 0 de funções suaves a valores complexos sobre \mathbb{C}^n e $\langle f \rangle$ é o ideal gerado pelas componentes de f . Dizemos que f é um germe de aplicação finito se $\mu_0 < \infty$. Sabe-se que a multiplicidade de f é o número de pré-imagens de um valor regular de f próximo de 0.

Observação 4.3.

$$\dim_{\mathbb{C}} \frac{\mathbb{C}[x_1, \dots, x_n]}{\langle f_1, \dots, f_n \rangle} = \sum_{p \in f^{-1}(0)} \dim_{\mathbb{C}} \frac{\mathcal{O}_{\mathbb{C}^n, p}}{\langle f_1, \dots, f_n \rangle}$$

onde $f = (f_1, \dots, f_n)$ é finito. Portanto, a dimensão do anel de quociente $\mathbb{C}[x_1, \dots, x_n] / \langle f_1, \dots, f_n \rangle$ é o número de pontos de $f_1 = \dots = f_n = 0$ contados com as multiplicidades. Por outro lado, a dimensão de $\mathcal{O}_{\mathbb{C}^n, p} / \langle f_1, \dots, f_n \rangle$ é a multiplicidade de p .

Considere $f : (\mathbb{C}^n, 0) \rightarrow (\mathbb{C}^n, 0)$, onde $f = (f_1, \dots, f_n)$ e cada f_i um de um polinômio homogêneo tal que 0 é isolado em $f^{-1}(0)$. Sabemos que $\mu_0[f] = \prod_{i=1}^n d_i$, onde d_i é o grau de cada f_i . Mas também, qualquer função holomorfa $f_i : (\mathbb{C}^n, 0) \rightarrow (\mathbb{C}, 0)$ pode ser escrita como $f_i = g_i + G_i$, onde g_i é o polinômio homogêneo de menor grau possível em f_i . Assim, qualquer aplicação suave $f : (\mathbb{C}^n, 0) \rightarrow (\mathbb{C}^n, 0)$ pode ser escrita como $f = g + G$. Também é sabido que $\mu_0[f] = \mu_0[g]$ se 0 é isolado em $g^{-1}(0)$. Para mais detalhes pode-se consultar, por exemplo, [1].

Estas ferramentas, para o cálculo de dimensões, serão utilizadas mais adiante na Proposição 4.5.

4.2 Resultados preliminares

Afim de obtermos uma relação entre o número de Milnor, as inflexões e as bi-tangências para determinados tipos de germes, precisamos de resultados intermediários, que serão feitos nessa seção. A Proposição 4.4 nos dirá que os zeros do campo F_α , para curvas $\alpha(u) = (a_k u^k, b_m u^m)$ específicas, é isolado. Esse fato será utilizado na Proposição 4.5 para obtermos uma relação entre o número de inflexões de uma curva e os zeros do campo dado por ela.

Proposição 4.4. *Seja $\alpha : (\mathbb{C}, 0) \rightarrow (\mathbb{C}^2, 0)$ um germe do tipo*

$$\alpha(u) = (a_k u^k, b_m u^m), \quad (4.6)$$

onde $0 < k < m$ e $a_k b_m \neq 0$ com k e m coprimos. Então F_α tem a origem como zero isolado.

Demonstração. Primeiramente vamos explicitar a expressão de F_α ,

$$\begin{aligned} F_\alpha(u, v) &= \left(\frac{\det(\alpha'(u), \alpha(u) - \alpha(v))}{(u-v)^2}, \frac{\det(\alpha'(v), \alpha(u) - \alpha(v))}{(u-v)^2} \right) \\ &= a_k b_m \left(\frac{(k-m)u^{k+m-1} + mu^{m-1}v^k - ku^{k-1}v^m}{(u-v)^2}, \frac{(m-k)v^{k+m-1} - mv^{m-1}u^k + kv^{k-1}u^m}{(u-v)^2} \right) \end{aligned}$$

E para $u = v = 0$, vale então $F_\alpha(0, 0) = (0, 0)$, isto é, a origem é um zero de F_α .

Note que, se $(u, v) \neq (0, 0)$ é um zero de F_α , então (tu, tv) , $t \in \mathbb{C}$, também é zero de F_α . Vamos agora verificar que F_α não possui zeros diferentes da origem. Suponha $F_\alpha(u, v) = (0, 0)$ com $(u, v) \neq (0, 0)$ e defina $x = v/u$. Portanto

$$F_\alpha(u, v) = (0, 0) \Leftrightarrow F_\alpha(1, x) = (0, 0).$$

Assim, $F_\alpha(u, v) = (0, 0)$ é equivalente ao sistema

$$\begin{cases} \frac{-kx^m + mx^k + (k - m)}{(1 - x)^2} = 0, \\ \frac{(m - k)x^m - mx^{m-k} + k}{(1 - x)^2} = 0. \end{cases} \quad (4.7)$$

Suponha que existe um $z \in \mathbb{C}$, não nulo, satisfazendo o sistema em (4.7). Na primeira equação obtemos:

$$z^m = \frac{mz^k + (k - m)}{k}.$$

Usando esse valor na segunda equação, segue

$$\begin{aligned} (m - k) \left(\frac{mz^k + (k - m)}{k} \right) - m \left(\frac{mz^k + (k - m)}{k} \right) \left(\frac{1}{z^k} \right) + k &= 0 \\ \Leftrightarrow \frac{(m - k)m}{k} \left(z^k + \frac{(k - m)}{m} + \frac{-m}{(m - k)} + \frac{1}{z^k} + \frac{k^2}{(m - k)m} \right) &= 0 \\ \Leftrightarrow \left(z^k + \frac{1}{z^k} + \frac{(k - m)(m - k) - m^2 + k^2}{m(m - k)} \right) &= 0 \\ \Leftrightarrow \left(z^k + \frac{1}{z^k} + \frac{-2m(m - k)}{m(m - k)} \right) &= 0 \\ \Leftrightarrow z^k \left(z^k + \frac{1}{z^k} - 2 \right) &= 0 \\ \Leftrightarrow (z^k - 1)^2 &= 0. \end{aligned}$$

Assim, $z^k = 1$, isto é, as raízes k -ésimas de 1, que são

$$z_N = \cos \left(\frac{2N\pi}{k} \right) + i \sin \left(\frac{2N\pi}{k} \right) = e^{i\frac{2\pi N}{k}}, 0 \leq N \leq k - 1.$$

Voltando com esses valores de z para a primeira equação do sistema em (4.7),

$$-ke^{i\frac{2\pi Nm}{k}} + me^{i2\pi N} + (k - m) = 0 \Leftrightarrow -ke^{i\frac{2\pi Nm}{k}} + m + (k - m) = 0$$

$$\begin{aligned} \Leftrightarrow -ke^{i\frac{2\pi Nm}{k}} + k = 0 &\Leftrightarrow -e^{i\frac{2\pi Nm}{k}} + 1 = 0 \Leftrightarrow e^{i\frac{2\pi Nm}{k}} = 1 \\ &\Leftrightarrow z_N^m = 1, 0 \leq N \leq k-1. \end{aligned}$$

Mas isto significa que se $z \in \mathbb{C}$, não nulo, satisfaz o sistema em (4.7), então $z^m = 1$ e $z^k = 1$. Considerando l o menor inteiro positivo tal que $z^l = 1$, temos que k e m são múltiplos de l , e como k e m são coprimos (por hipótese), segue que $l = 1$ e também, $z = 1$.

Neste momento usamos a regra dos sinais de Descartes e vemos que cada polinômio no numerador das equações do sistema em (4.7) tem na máximo duas raízes positivas. Como $z = 1$ tem multiplicidade 2 e os dois polinômios em (4.7) estão divididos por $(1-x)^2$, $z = 1$ não pode satisfazer o sistema em questão, nos dando um absurdo. Essa contradição veio do fato de assumirmos que F_α tem zeros diferentes da origem. Portanto, isto não ocorre e a origem é o único zero, concluindo a demonstração. ■

Proposição 4.5. *Seja $\gamma : (\mathbb{C}, 0) \rightarrow (\mathbb{C}^2, 0)$ um germe do tipo*

$$\gamma(u) = \left(\sum_{i=k}^l a_i u^i, \sum_{j=m}^n b_j u^j \right)$$

com $a_k a_l b_m b_n \neq 0$ e $1 \leq k < m$. Então:

i) *Se k e m são coprimos, vale $\vartheta = I^2$,*

ii) *Se l e n são coprimos, vale $\tilde{\vartheta} = \tilde{I}^2$.*

Demonstração. Para o item (i) iremos considerar os comentários feitos na Seção 4.1, procurando então o polinômio homogêneo de menor grau que aparece em cada entrada de F_γ . Definindo f como abaixo

$$f(u, v) = \frac{\det(\gamma'(u), \gamma(u) - \gamma(v))}{(u - v)^2},$$

notamos que o termo procurado homogêneo de menor grau depende dos termos iniciais de γ , ou seja, podemos considerar γ como em (4.6) da Proposição 4.4, e obter

$$\begin{aligned} f(u, v)(u - v)^2 &= \det(\gamma'(u), \gamma(u) - \gamma(v)) \\ &= \det \left((a_k k u^{k-1}, b_m m u^{m-1}), (a_k(u^k - v^k), b_m(u^m - v^m)) \right) \\ &= a_k k u^{k-1} b_m (u^m - v^m) - b_m m u^{m-1} a_k (u^k - v^k). \end{aligned}$$

Assim, o grau do polinômio homogêneo f é $k - 1 + m - 2 = k + m - 3$. Lembrando que $F_\gamma(u, v) = (f(u, v), -f(v, u))$, segue

$$\vartheta = \dim_{\mathbb{C}} \frac{\mathcal{O}_{\mathbb{C}^2, 0}}{\langle F_\gamma(u, v) \rangle} = \dim_{\mathbb{C}} \frac{\mathcal{O}_{\mathbb{C}^2, 0}}{\langle f(u, v), -f(v, u) \rangle} = (k+m-3)(k+m-3) = (k+m-3)^2.$$

Agora estudemos o valor de I , para isso vamos exibir a expressão de $\det(\gamma'(u), \gamma''(u))$

$$\begin{aligned} \det(\gamma'(u), \gamma''(u)) &= \det \left((a_k k u^{k-1}, b_m m u^{m-1}), (a_k k(k-1)u^{k-2}, b_m m(m-1)u^{m-2}) \right) \\ &= a_k k u^{k-1} b_m m(m-1)u^{m-2} - b_m m u^{m-1} a_k k(k-1)u^{k-2}. \end{aligned}$$

De onde segue que $\det(\gamma'(u), \gamma''(u))$ tem grau $k - 1 + m - 2 = k + m - 3$, e portanto

$$I = \dim_{\mathbb{C}} \frac{\mathcal{O}_{\mathbb{C}, 0}}{\langle \det(\gamma'(u), \gamma''(u)) \rangle} = k + m - 3.$$

O que conclui a primeira parte.

Para a demonstração do item (ii) vamos utilizar o Teorema de Bézout e considerar novamente

$$\gamma(u) = \left(\sum_{i=k}^l a_i u^i, \sum_{j=m}^n b_j u^j \right).$$

Veja, que nesse caso, usando a linearidade do determinante nas duas entradas, vemos que f é uma soma de polinômios homogêneos com graus de $j = k + m - 3$ até $j = l + n - 3$. Chamando cada um desses polinômios de P_j , temos:

$$F_\gamma(u, v) = (P_{k+m-3}(u, v) + \cdots + P_{l+n-3}(u, v), -P_{k+m-3}(v, u) - \cdots - P_{l+n-3}(v, u)).$$

Homogeneizando os polinômios P_j , para que todos tenham o mesmo grau $l + n - 3$, definimos F_1 e F_2 da seguinte maneira:

$$F_1(w, u, v) = w^{l+n-k-m} P_{k+m-3}(u, v) + \cdots + w^0 P_{l+n-3}(u, v),$$

$$F_2(w, u, v) = -w^{l+n-k-m} P_{k+m-3}(v, u) - \cdots - w^0 P_{l+n-3}(v, u).$$

Defina também,

$$\begin{aligned} f_i(u, v) &= F_i(1, u, v), \\ \bar{F}_i(u, v) &= F_i(0, u, v), \end{aligned} \tag{4.8}$$

$i = 1, 2$, (compare (4.8) com (4.5)).

Note que $\overline{F}_1(u, v) = P_{l+n-3}(u, v)$ e $\overline{F}_2(u, v) = -P_{l+n-3}(v, u)$, e mais, $F_\gamma(u, v) = (P_{l+n-3}(u, v), -P_{l+n-3}(v, u))$ é o campo para $\gamma(u) = (a_l u^l, b_n u^n)$. Mas, pela Proposição 4.5, F_γ para $\gamma(u) = (a_l u^l, b_n u^n)$ tem a origem como zero isolado. Isto quer dizer que não temos soluções no infinito. Podemos então utilizar o Teorema de Bézout, obtendo

$$\tilde{\vartheta} = \dim_{\mathbb{C}} \frac{\mathbb{C}[u, v]}{\langle F_\gamma(u, v) \rangle} = \dim_{\mathbb{C}} \frac{\mathbb{C}[u, v]}{\langle f_1(u, v), f_2(u, v) \rangle} = (l+n-3)(l+n-3) = (l+n-3)^2.$$

Por outro lado,

$$\tilde{I} = \dim_{\mathbb{C}} \frac{\mathbb{C}[u]}{\langle \det((\gamma'(u), \gamma''(u))) \rangle} = l+n-3.$$

Isto finaliza esta demonstração. ■

4.3 A fórmula Algébrica

Antes de enunciarmos o teorema central desse capítulo, precisamos definir o número de Milnor μ . Para isso, tome um germe $G \in \mathcal{O}_{\mathbb{C}^2, 0}$, e defina

$$\mu := \dim_{\mathbb{C}} \frac{\mathcal{O}_{\mathbb{C}^2, 0}}{\langle \frac{\partial G}{\partial x}, \frac{\partial G}{\partial y} \rangle}.$$

O valor μ é chamado de **número de Milnor**, mas para calcularmos utilizaremos a fórmula

$$\mu = 2\delta - r + 1,$$

para curvas planares (ver [18] ou [4]), onde r é o número de ramos da curva em questão.

Em nosso caso, o número de ramos r dos germes estudados é 1, o que nos dá

$$\mu = 2\delta. \tag{4.9}$$

De forma similar, temos

$$\tilde{\mu} = 2\tilde{\delta}. \tag{4.10}$$

para $\tilde{\mu}$ sendo o **número global de Milnor**, que é dado pela soma dos números locais de Milnor sobre todos os pontos críticos de G .

Apresentamos agora o principal resultado deste capítulo.

Teorema 4.6. *Seja $\gamma : (\mathbb{C}, 0) \rightarrow (\mathbb{C}^2, 0)$ um germe do tipo*

$$\gamma(u) = \left(\sum_{i=k}^l a_i u^i, \sum_{j=m}^n b_j u^j \right)$$

com $a_k a_l b_m b_n \neq 0$ e $1 \leq k < m$. Então:

i) *Se k e m são coprimos, vale $\mu = I(I - 1) - 2T$,*

ii) *Se l e n são coprimos, vale $\tilde{\mu} = \tilde{I}(\tilde{I} - 1) - 2\tilde{T}$.*

Demonstração. Faremos as demonstrações dos itens (i) e (ii) simultaneamente. Primeiramente as expressões em (4.4) e (4.3), nos dão

$$\begin{aligned} \vartheta &= 2T + 2\delta + I, \\ \tilde{\vartheta} &= 2\tilde{T} + 2\tilde{\delta} + \tilde{I}. \end{aligned} \tag{4.11}$$

Agora usemos que

$$\begin{aligned} \vartheta &= I^2 \quad \text{e} \quad \mu = 2\delta, \\ \tilde{\vartheta} &= \tilde{I}^2 \quad \text{e} \quad \tilde{\mu} = 2\tilde{\delta}, \end{aligned} \tag{4.12}$$

pela Proposição 4.5 e pelas equações (4.9) e (4.10).

Com isso obtemos

$$\begin{aligned} \mu &= 2\delta = \vartheta - 2T - I = I^2 - I - 2T = I(I - 1) - 2T, \\ \tilde{\mu} &= 2\tilde{\delta} = \tilde{\vartheta} - 2\tilde{T} - \tilde{I} = \tilde{I}^2 - \tilde{I} - 2\tilde{T} = \tilde{I}(\tilde{I} - 1) - 2\tilde{T}. \end{aligned} \tag{4.13}$$

O que conclui a demonstração. ■

A partir no Teorema 4.6, obtemos uma relação entre o número de Milnor, as de inflexões e bi-tangências para determinados tipos de germes.

Para finalizar este capítulo, adicionamos duas tabelas para $\gamma : (\mathbb{C}, 0) \rightarrow (\mathbb{C}^2, 0)$ um germe dado por

$$\gamma(u) = \left(\sum_{i=k}^l a_i u^i, \sum_{j=m}^n b_j u^j \right), \tag{4.14}$$

com $a_k a_l b_m b_n \neq 0$ e $1 \leq k < m$, k e m coprimos e também l e n coprimos.

Tabela 4.1: Invariantes locais.

$\delta =$	$\frac{1}{2}(k-1)(m-1)$
$\mu =$	$(k-1)(m-1)$
$I =$	$(k+m-3)$
$T =$	$\frac{1}{2}\left((k+m-3)(k+m-4) - (k-1)(m-1)\right)$
$\vartheta =$	$(k+m-3)^2$

Tabela 4.2: Invariantes globais.

$\tilde{\delta} =$	$\frac{1}{2}(l-1)(n-1)$
$\tilde{\mu} =$	$(l-1)(n-1)$
$\tilde{I} =$	$(l+n-3)$
$\tilde{T} =$	$\frac{1}{2}\left((l+n-3)(l+n-4) - (l-1)(n-1)\right)$
$\tilde{\vartheta} =$	$(l+n-3)^2$

A Tabela 4.1 contem os invariantes locais δ, μ, I, T e ϑ e a Tabela 4.2 contem os invariantes globais $\tilde{\delta}, \tilde{\mu}, \tilde{I}, \tilde{T}$ e $\tilde{\vartheta}$ para γ como em (4.14).

Conclusões

Neste trabalho, tivemos como objetivo explorar a fórmula de Fabricius-Bjerre de 1962 e algumas variações da mesma. Para tal, utilizamos principalmente os artigos [11] e [12] para curvas $\gamma : \mathbb{S}^1 \rightarrow \mathbb{R}^2$, o artigo [19] para curvas $\gamma : \mathbb{S}^1 \rightarrow \mathbb{S}^2$ e os artigos [7] e [8] para curvas $\gamma : I \rightarrow \mathbb{R}^2$ e germes $\gamma : (\mathbb{C}, 0) \rightarrow (\mathbb{C}^2, 0)$.

Referências Bibliográficas

- [1] V. I. Arnold, S. M. Gusein-Zade e A. N. Varchenko, *Singularities of differentiable maps, Volume I*, Monographs in Mathematics, **82**, Birkhuser Boston Inc., Boston, MA, 1985.
- [2] T. F. Banchoff, *Global geometry of polygons. I: The theorem of Fabricius Bjerre*, Proc. Amer. Math. Soc. **45** (1974) 237-241.
- [3] I. Bendixson, *Sur les courbes definies par des equations differentielles*, Acta Math. **24** (1913) 14-22.
- [4] R.O. Buchweitz e G.-M. Greuel, *The Milnor number and deformations of complex curve singularities*, Invent. Math. **58** (1980) 241-281.
- [5] M. P. do Carmo, *Geometria Diferencial de Curvas e Superfícies*, 6ed., Rio de Janeiro, SBM, 2014.
- [6] D. A. Cox, J. Little e D. O'Shea, *Using Algebraic Geometry*, Graduate Texts in Mathematics, **185**, Spriger-Verlag, New York, 1998.
- [7] F. S. Dias e L. F. Mello, *Geometry of plane curves*, Bull. Sci. Math. **135** (2011) 333-334.
- [8] F. S. Dias, R. Oset Sinha e M. A. S. Ruas, *A formula relating inflections, bitangencies and the Milnor number of a plane curve*, Bull. Amer. Math. Soc. **142** (2014) 2353-2368.

- [9] D. Dreibelbis, *A Bitangency Theorem for Surfaces in Euclidean Four-Space*, Ph.D. Thesis, Brown University, 1998.
- [10] F. Dumortier, J. Llibre e J. C. Artés, *Qualitative Theory of Planar Differential Systems*, Universitext, Springer-Verlag, Berlin, 2006.
- [11] Fr. Fabricius-Bjerre, *On the double tangents of plane closed curves*, Math. Scand. **11** (1962) 113-116.
- [12] Fr. Fabricius-Bjerre, *A relation between the numbers of singular points and singular lines of a plane closed curve*. Math. Scand. **40** (1977) 20-24.
- [13] C. G. Gibson, *Singular points of smooth mappings*, Research Notes, **25**, Pitman, 1979.
- [14] B. Halpern, *Global theorems for closed plane curves*, Bull. Amer. Math. Soc. **76** (1970) 96-100.
- [15] M. W. Hirsch, *Differential Topology*, Graduate Texts in Mathematics, **33**, Springer-Verlag, New York, 1976.
- [16] B. Jablonska, *Surfaces associated to a space curve. A new proof of Fabricius-Bjerre's Formula*, Ph.D. Thesis, Universidade Técnica de Berlim, 2012.
- [17] J. W. Milnor, *Topology from the differentiable viewpoint*, University Press of Virginia, Charlottesville, 1965.
- [18] J. W. Milnor, *Singular points of complex hypersurfaces*, Annals of Mathematics Studies, **61**, Princeton University Press, 1968.
- [19] J. L. Weiner, *A spherical Fabricius-Bjerre formula with applications to closed space curves*, Math. Scand. **61** (1987) 286-291.